

زمین‌شناسی، ژئوشیمی و پتروژنر مجموعه نفوذی اشنویه (شمال باختر ایران)

جلیل قلمقاش^{۱*}، سارا هوشمند معنوی^۲ و منصور وثوقی عابدینی^۳

^۱ استادیار، پژوهشکده علوم زمین، سازمان زمین‌شناسی و اکتشافات معدنی کشور، تهران، ایران.

^۲ کارشناسی ارشد، سازمان زمین‌شناسی و اکتشافات معدنی کشور، تهران، ایران.

^۳ دانشیار، گروه زمین‌شناسی، دانشگاه آزاد اسلامی - واحد علوم و تحقیقات، تهران، ایران.

تاریخ پذیرش: ۱۳۸۹/۰۵/۱۲

تاریخ دریافت: ۱۳۹۰/۰۳/۰۷

چکیده

مجموعه نفوذی اشنویه از ۳ خانواده نفوذی دیوریت، گرانیت و آلکالی‌سینیت-آلکالی‌گرانیت (آس-آگ) در بخش شمال باختری پهنه سندج-سیرجان پدید آمده است. بر پایه ویژگی‌های کانیایی و ژئوشیمیایی، سنگ‌های دیوریتی حاصل ذوب بخشی گوشه نفوذی با ویژگی‌های آشکار گرانیت‌های نوع S حاصل ذوب بخشی سنگ‌های پلیتی-گری و اکی هستند. خانواده آس-آگ از دو توده با ترکیب آلکالی‌گرانیتی و آلکالی‌گرانیتی فلورین دار که از گرانیت‌های نوع A پرآلومین هستند تشکیل شده است. سنگ‌های این خانواده حاصل ذوب بخشی سنگ‌های کوارتز-فلدسباری تفریق‌نیافه در دمای بالا بوده‌اند. با توجه به بی‌هنجری منفی Nb و Ti در نمودارهای چند عنصری و برپایه نمودار (Y+Nb)-Rb سنگ‌های دیوریتی در حاشیه فعال قاره‌ای (VAG) پدید آمده‌اند. با توجه به محیط تشکیل دیوریت‌های منطقه و همزمانی تشکیل آنها با سنگ‌های گرانیتی در ۱۰۰ میلیون سال پیش، به نظر می‌رسد مجموعه نفوذی اشنویه حاصل فروزانش پوسته اقیانوسی نویسی به زیر ایران مرکزی است. با الامدن ماقمای مافیک به درون پوسته قاره‌ای و در اثر حرارت آن، پوسته بالایی دچار ذوب بخشی شده و ماقمای خانواده گرانیتی تشکیل شده است. ۲۰ میلیون سال پس از ایجاد سنگ‌های نفوذی دیوریتی و گرانیتی، ماقمای اولیه خانواده سنگ‌های آلکالی‌سینیتی-آلکالی‌گرانیتی در اثر حرارت ماقمای مافیک و یا در اثر وقفه در فروزانش و کاهش فشار از ذوب سنگ‌های کوارتز-فلدسباری پوسته پایینی تکوین یافته است.

کلیدواژه‌ها: سنگ‌های نفوذی، دیوریت، گرانیت سینیت، پهنه سندج-سیرجان، ایران.

*نویسنده مسئول: جلیل قلمقاش

E-mail: ghalamghash@yahoo.com

-۱ مقدمه

تریاس پایانی-ژوراسیک آغازی (سازندهای درود، روت و نایند) جایگزین شده است. همچنین واحدهای سنگی پرکامبرین پایانی و پالئوزویک آغازی (سازندهای کهر، سلطانی، باروت و لالون) نیز توسط توده‌های این مجموعه قطع شده‌اند. در جنوب باختر منطقه سنگ‌های اوپترامافیک وابسته به مجموعه افیولیتی با سن کرتاسه پسین نمایان است که مرزهای آن با واحدهای سنگ‌چینهای و نفوذی منطقه گسلی است (شکل ۱). مجموعه نفوذی اشتویه گسترشی حدود ۷۰ کیلومتر مربع دارد و از ۹ توده با ابعادی در حد استوک پدید آمده است که بر پایه شواهد صحرابی، ویژگی‌های سنی و ترکیب سنگی به سه خانواده (Suite) دیوریتی، گرانیتی و آلکالی‌سینیتی-آلکالی‌گرانیتی (آس-آگ) قابل طبقه‌بندی هستند (شکل ۱) (قلمقاش et al., ۱۳۸۲).

خانواده دیوریتی گسترده ترین واحد نفوذی منطقه است و از سه توده قمیشلو با گسترش حدود ۷۰ کیلومتر مربع، استوک طوبی دوربه با طول ۱۲ کیلومتر و عرض ۲ تا ۳ کیلومتر و استوک یونسلو با گسترش تقریبی ۳۰ کیلومتر مربع پدید آمده است (شکل ۱). توده‌های نفوذی مجموعه اشتویه در شکل‌ها با نشانه‌های اختصاری زیر نمایش داده شده‌اند: توده‌های خانواده دیوریتی شامل قمیشلو، دوربه و یونسلو به ترتیب با نشانه‌های اختصاری GD، DD و UD؛ توده‌های خانواده گرانیتی شامل سه کانی، ناری، دوستک و دوربه به ترتیب با نشانه‌های SBG، NBG، DBG و DG و توده‌های خانواده آس-آگ شامل توده بردکیش و بالستان به ترتیب با نشانه‌های اختصاری BS و BG. در سنگ‌های این خانواده و بالستان به ترتیب با نشانه‌های اختصاری (به جز توده یونسلو (هوشمند معنوی، ۱۳۸۱)) قطعات بیگانه (Xenolith) و انکلاو (Enclave) وجود ندارد. دایک‌های گرانیتی، سینیتی و آندزیتی توده‌های دیوریتی را قطع کرده‌اند.

خانواده گرانیتی از گرانیت‌های بیوتیت‌دار و مسکوویت-گارنت‌دار پدید آمده است که به صورت چند توده در بخش‌های شمالی و جنوبی منطقه بروزند دارند. توده‌های سه کانی با گسترش تقریبی ۳۵ کیلومتر مربع و دوستک با گسترش بیش

مجموعه نفوذی اشنویه در شمال باختری پهنه سندج-سیرجان و در شمال شهر اشنویه رخمنو دارد (شکل ۱). پهنه سندج-سیرجان بخشی از نوار کوهزاری تیس است که در اثر باز و بسته شدن اقیانوس تیس جوان پدید آمده است Stoklin, 1968; Berberian & King, 1981; Sengor, 1990; Alavi, 1994; (Mohajjal, 1997; Mohajjal & Ferguson, 2000) از کمرنگ آذربایجانی مزوژویک-ترشیری پهنه سندج-سیرجان شمالی است. شهرای (۱۳۶۴) در نقشه زمین‌شناسی چهارگوش ارومیه با مقیاس ۱:۲۵۰۰۰۰ سنگ‌های نفوذی شمال اشتویه را حاصل دو فاز آذربایجانی گرانوپریت‌های زمان پرکامبرین و گرانیت‌های سه از ژوراسیک و پیش از اشتویه گرانوپریت کرده است. در این نوشتار گروه اول به صورت مجموعه‌ای از سنگ‌های دیوریتی، گرانوپریت، گابروپری و پریدوتیتی معرفی شده است و توده‌های نفوذی خاور کوه والی (ارومیه-اشتویه)، کوه راندولا (باختر شهر اشتویه) به این گروه نسبت داده شده‌اند. سنگ‌های نفوذی گروه دوم به صورت گرانیت قلایی معرفی شده‌اند و توده‌های نفوذی گروه سوم به این گروه نسبت داده شده‌اند. نوشتار گروه اول از دید گوناکونی سنگ‌های نفوذی در یک محدوده کوچک، منطقه ویژه‌ای برای مطالعه ویژگی‌های ماقمایی-ژئوپارامیکی کمرنگ توده‌های نفوذی مزوژویک-ترشیری در پهنه سندج-سیرجان ایجاد کرده است. در این نوشتار بر آنیم تا افزون بر معرفی ویژگی‌های زمین‌شناسی، ژئوشیمیایی و پتروژنر مجموعه نفوذی اشتویه، سازوکار تشکیل سنگ‌های نفوذی با منشأهای گوناگون را در بخش شمالی پهنه سندج-سیرجان ارائه دهیم.

۲- زمین‌شناسی منطقه و مجموعه نفوذی اشتویه
مجموعه نفوذی اشتویه در میان واحدهای تخریبی-کربناتی پرمین و

است. ترکیب کانی‌شناسی سنگ‌های این خانواده به صورت پلاژیوکلاز، آمفیبیول، دیوپسید، بیوتیت (فقط در سنگ‌های دیوریتی قمیشو و یونسلو)، فلدسپار قلایی و کوارتز است. در سنگ‌های این خانواده کانی‌های تیتانیت، آپاتیت، زیرکن، تیره (Opaque) به مقدار جزیی وجود دارند. در این خانواده پلاژیوکلازها بیشتر ماکل دار (ماکل آلیت یا پلی‌ستنتیک) هستند و برخی از آنها ساخت منطقه‌ای نشان می‌دهند. ترکیب انواع ماکل دار بیشتر از An_{14} تا An_{46} تغییر می‌کند. انواع با ساخت منطقه‌ای از مرکز به سمت کناره ترکیبی از An_{19} تا An_{72} می‌باشد. ترکیب آمفیبیول‌ها بر پایه روش آهن دوظرفیتی (Leake et al., 1997) در حد مگنزیو-هورنبلند، پارگازیت و کمتر ادنیت است. با بهره‌گیری از نمودار ولاستونیت- استناتیت- فروسیلت (Morimoto, 1988) ترکیب $(Fe^{2+}/Mg)^{Fe^{2+}}$ ترکیب خانواده دیوریتی در حد دیوپسید و بر پایه نسبت (Fe²⁺/Mg) ترکیب بیوتیت‌ها در حد آنیت (Annite) است. برخی از بلورهای هورنبلند در کار یا پیرامون دیوپسید متبلور شده‌اند که با توجه به شکل دار بودن این کانی به نظر می‌رسد تبلور هورنبلند در شرایط عادی از ماقمای اوپله بوده است؛ بهویژه آن‌که بلورهای شکل دار و بدون هسته‌های دیوپسید، ترکیب مشابه کناره بلورهای آمفیبیول با هسته دیوپسیدی دارند. در توده‌های قمیشو و یونسلو بیوتیت نیز در ارتباط نزدیک با هورنبلند وجود دارد هر چند بعضی از آنها به صورت اوپله و در شرایط ماقمایی پدید آمده‌اند ولی با توجه به بیوتیت زایی گسترده در مرز توده‌های دیوریتی و گرانیتی و ارتباط نزدیک این دو فاز ماقمایی، بعضی از بیوتیت‌ها ثانویه بوده و در اثر فرایندات شیمیایی یا آمیختگی با ماقمای گرانیتی پدید آمده‌اند. برپایه ترکیب کانی‌شناسی و درصد حجمی کانی‌ها نام سنگ‌های خانواده دیوریتی در حد کوارتز-مونزون‌دیوریت تا دیوریت و کمتر گابرو-دیوریت است (شکل ۲). بافت سنگ‌های خانواده گرانیتی نیز گرانولار ریز تا درشت‌بلور است. ترکیب کانی‌های اصلی این خانواده به صورت فلدسپار قلایی، پلاژیوکلاز، کوارتز، بیوتیت و آمفیبیول (در توده‌های ناری و دوستک) و مسکوویت (فقط در توده دوربه) است. در این خانواده زیرکن، آپاتیت و گارنت (فقط در توده دوربه) به صورت کانی جزیی حضور دارند. ترکیب سنگ‌های خانواده گرانیتی از سینوگرانیت تا مونزون‌گرانیت متغیر است (شکل ۲). بیشتر پلاژیوکلازهای خانواده گرانیتی از نوع آلیت- الیکوکلاز (An₃₀) تا (An₀) هستند و کمتر ترکیب آنها به آندزین می‌رسد. در این خانواده بیوتیت‌ها ترکیب آنیت دارند. آمفیبیول‌ها در سنگ‌های گرانیتی توده‌های ناری و دوستک وجود دارند که ترکیب آن بر پایه روش Fe^{2+}/Mg در حد فرو-هورنبلند است. ترکیب مسکوویت‌های توده گرانیتی دوربه در حد سیدرو-فیلیت تعیین شده است.

سنگ‌های خانواده آس-آگ بافت گرانولار دارند. فلدسپارهای قلایی، کوارتز، آمفیبیول، پیروکسن و کانی‌های جزیی (زیرکن، آپاتیت و تیتانیت) ترکیب کانی‌شناسی توده برد کیش را پدید آورده‌اند. سنگ‌های این توده در حد سینیت تا آلکالی گرانیت هستند (شکل ۲). بر پایه روش Fe^{2+} و $15K$ (Deer et al., 1992) آمفیبیول‌های این خانواده از نوع فرو-هورنبلند و آرفودسونیت هستند. پیروکسن‌ها نیز ترکیب از رین دارند. توده بالستان با ترکیب آلکالی گرانیتی- سینوگرانیتی از فلدسپارهای قلایی، کوارتز، پلاژیوکلاز و کانی‌های فرعی (زیرکن، آپاتیت، فلورین) پدید آمده است (شکل ۲). توده آلکالی گرانیت فلورین دار بالستان کانی مافیک ندارد، بنابراین در این توده فقط ترکیب فلدسپارها مطالعه شده است.

۵- دما - فشار-سنگی

برپایه مقدار Al هورنبلند در سنگ‌های دیوریتی منطقه، فشار در زمان جایگیری توده‌های دیوریتی میان $1/3$ تا $2/96$ کلو بار بوده است (Blundy & Holland, 1990

از 50 کیلومتر مربع و در شمال باخته منطقه بروزد دارند که به نظر می‌رسد در ژرفای با یکدیگر در ارتباط و به هم متصل هستند (شکل ۱). در شمال خاوری منطقه در پیرامون روستای ناری توده گرانیتی ناری با ترکیب بیوتیت- آمفیبیول دار با گستره حدود 25 کیلومتر مربع و در جنوب منطقه توده گرانیت مسکوویت- گارنت دار دوربه با گستره 12 کیلومتر مربع از اعضای دیگر این خانواده به شمار می‌آیند (شکل ۱). در سنگ‌های خانواده گرانیتی اینکلاوهای دیوریتی و بیگانه سنگ‌های دیگر گوئی وجود دارد. تعداد کمی دایک آندزیتی توده‌های گرانیتی این خانواده راقطع کرده است.

بر پایه شواهد صحراوی و سن سنجی رادیومتری، جایگیری توده‌های گرانیتی و دیوریتی به طور همزمان یا با اختلاف زمانی کوتاه بوده است و بخشی از آنها به صورت توده‌های مرکب بروزد دارند. در مناطقی که مذاب گرانیتی با بخش سخت شده دیوریت در ارتباط بوده، دیوریت دچار بیوتیت‌زایی شده است (باخته روستاهای علیان و دوستک)، ولی در محل‌هایی که مذاب گرانیتی در کار یا آمیش یکدیگر قرار گرفته‌اند در نتیجه تأثیر متقابل و آمیختگی (Mixing) و یا آمیش (Mingling)، سنگ‌های میانه با ترکیب کوارتز-مونزونیت و کوارتز-مونزون‌دیوریت با ویژگی‌های سنگ‌های دورگه در منطقه مزی دو توده یافته می‌شوند (قلمقوash و همکاران، ۱۳۸۲).

در بخش مرکزی منطقه، سنگ‌های دیوریتی توده قمیشو و سنگ‌های گرانیتی توده سه کانی توسط توده آلکالی سینیتی- آلکالی گرانیتی بدکیش قطع شده‌اند که حدود 25 کیلومتر مربع گسترش دارد. این توده به دلیل داشتن مرزهای مشخص با سنگ‌های آذرین یادشده و وجود انکلاوهای دیوریتی در متن سنگ‌های سینیتی، جوانتر از آنهاست. در بخش خاوری منطقه و در پیرامون روستای بالستان (در جاده ارومیه- مهاباد) یک توده گرانیتی کوچک هولکوکرات بروزد دارد که به دلیل داشتن فلورین در ترکیب کانی‌شناسی خود از دیگر توده‌های نفوذی منطقه متمایز است، این توده 10 کیلومتر مربع گسترش دارد و در سطح هیچ ارتباطی با دیگر توده‌های ماقمایی منطقه ندارد. دو توده بردکیش و بالستان اعضای سومین خانواده آذرین مجموعه اشتویه به شمار می‌آیند که در این مقاله به نام خانواده آلکالی سینیتی- آلکالی گرانیتی (آس- آگ) از آنها یاد خواهد شد (شکل ۱).

با توجه به شواهد صحراوی و سن سنجی به روش K/Ar مجموعه نفوذی اشتویه در زمان کرتاسه پایانی و در دو مرحله پدید آمده است. به گونه‌ای که جایگیری خانواده‌های دیوریتی و گرانیتی به طور همزمان در 100 میلیون سال پیش و خانواده سنگ‌های آس- آگ در زمان 80 تا 76 میلیون پیش رخ داده است (قلمقوash و همکاران، ۱۳۸۲).

۳- روش‌های آزمایشگاهی

مطالعه شیمی کانی‌ها با بهره‌گیری از دستگاه میکروپرپ و نوع CAMECA در آزمایشگاه فیزیک دانشگاه پل ساینته فرانسه انجام شده است. خردایش و پودر کردن نمونه با بهره‌گیری از آسیاب‌های تکنگستن کارباید انجام و همه نمونه‌ها تا حد 200 میش پودر شده‌اند. اکسیدهای اصلی با دستگاه XRF و عناصر F ، Cl ، O ، I ، L ، $O.I$ به روش شیمی تر در آزمایشگاه‌های سازمان زمین‌شناسی کشور تجزیه شده‌اند. عناصر کمیاب و خاکی کمیاب (REE) با دستگاه ICP-MS آزمایشگاه ژئوشیمی داششگاه پل ساینته مورد مطالعه قرار گرفته‌اند. نمونه‌های XRF به صورت پودر و نمونه‌های ICP-MS با روش برات لیتیم ذوب و سپس به صورت محلول آمده و مطالعه شده‌اند.

۴- سنگ‌نگاری و شیمی کانی‌ها

توده‌های قمیشو و یونسلو از خانواده دیوریتی، بافت گرانولار ریز تا درشت‌بلور دارند در صورتی که در توده دوربه بافت سنگ‌ها گرانولار خیلی درشت‌بلور

Ti نمایان است (شکل ۵-۶). نمودار چند عنصری توده گرانیتی دوربه به روشنی با نمودار توده‌های دیگر این خانواده متفاوت است به گونه‌ای که نمودار این توده بی‌هنجری منفی بزرگتری از Ba و Sr نسبت به توده‌های دیگر خانواده گرانیتی دارد. در نمودارهای چند عنصری این توده بی‌هنجری مثبت P و مقادیر پایین تری از عناصر Nd، Sm، P، Ti، Hf، Zr، Sm، P، Ti، Y و Yb نمایان است. سنگ‌های خانواده آس-آگ کالک‌آلکالن پاتاسیم بالا و شوشونیتی و پرآلومین هستند (شکل‌های ۴-a و b). ویژگی مهم سنگ‌های خانواده آس-آگ مقادیر به نسبت بالای عناصر HFS و نسبت Fe/Mg است. همچنین سنگ‌های این خانواده نسبت بالای Al/Ga دارند. در نمودارهای چند عنصری غنی‌شدگی نسبی از عناصر HFS، بی‌هنجری منفی Nb، بی‌هنجری منفی بزرگتری از P، Sr و دیده LIL می‌شود (شکل ۵-۶).

۶-۲. ژئوشیمی عناصر خاکی کمیاب

محتوای REE در خانواده دیوریتی نسبت به دیگر خانواده‌های نفوذی مجموعه اشتویه پایین تر است. در این خانواده غنی‌شدگی نسبی LREE نسبت به HREE دیده می‌شود، به گونه‌ای که مقدار میانگین نسبت $_{\text{La/Yb}}$ $8/0^{\circ}$ است که از مقدار میانگین این نسبت برای خانواده آس-آگ بالاتر و برای خانواده گرانیتی پایین تر است؛ همه نمودارهای REE توده‌های دیوریتی (به جز توده یونسلو) این خانواده بی‌هنجری منفی Eu (بی‌هنجری منفی Eu از رابطه $[\text{Eu}/(\text{Sm+Gd})]$ محاسبه شده است) دارند. ولی با توجه دامنه تغییرات نسبت $^{*}\text{Eu/Eu}$ ، بی‌هنجری آنها عموماً کوچک است (شکل ۵-d). همه سنگ‌های خانواده گرانیتی از LREE نسبت به HREE غنی هستند و نسبت $_{\text{La/Yb}}$ در این خانواده از $2/6^{\circ}$ (به جز در مورد توده گرانیتی دوربه پسیار پایین است) تا $32/0^{\circ}$ تغییر می‌کند و مقدار میانگین آن $14/77$ است. همه نمودارهای REE در این خانواده بی‌هنجری منفی Eu دارند (شکل ۵-e). به طور کلی در خانواده سنگ‌های آس-آگ محتوای کل عناصر خاکی کمیاب بیش از دیگر خانواده‌های مجموعه نفوذی اشتویه است. میزان غنی‌شدگی LREE در خانواده آس-آگ کمتر از خانواده‌های گرانیتی و دیوریتی است. در بیشتر نمونه‌های خانواده آس-آگ بی‌هنجری منفی بزرگتر از این بی‌هنجری در خانواده‌های دیگر مجموعه نفوذی اشتویه است (شکل ۵-f).

۷- بحث

۱-۷. نوع و منشأ خانواده دیوریتی

بر پایه ویژگی‌های کانی‌شناسی (وجود هورنبلند به عنوان کانی مافیک اصلی، وجود کلینوپیر و کسن به همراه هورنبلند، وجود تیتانیت‌های اولیه و نبود کانی‌های سرشار از آلومین)، ویژگی‌های ژئوشیمیایی (غنی‌شدگی نسبی از Na_2O ، CaO و متا‌آلومین بودن آنها) و شواهد صحرایی (نبود انکلاوهای دگرگونی و سرشار از میکا) خانواده دیوریتی از گرانیت‌بیدهای نوع آلتا‌آلومین است.

دمای اشباعی زیرکن در سنگ‌های خانواده دیوریتی 711 تا 827 درجه سانتی گراد است که بر پایه شواهد سنگنگاری دمای نزدیک سولیدوس آنهاست. این دما از بیشینه دمای اشباعی زیرکن برای سنگ‌های مافیک نوع I دمای پایین 762 تا 740 درجه سانتی گراد، (Chappell et al., 1998) بیشتر است که نشان از دمای بالای تشکیل دیوریت‌های منطقه دارد. وجود آمفیبولهای نوع پارگازیت و مقادیر بالای دما (و فوگاسیته اکسیژن) در منشأ آنهاست. سنگ‌های گوشته اولیه، گوشته تحول یافته سنگ‌کرمه‌ای و سنگ‌های مافیک اولیه در پوسته ژرف به عنوان سنگ مادر و منشأ خانواده دیوریتی مطرح هستند. الگوی پراکنده‌گی REE در خانواده دیوریت دارای تقرع به سمت بالاست (Concave Upward) و به روشنی با الگوی سنگ‌های

(Johnson & Rutherford, 1989) دماهای میان 665 تا 844 درجه سانتی گراد برای توده‌های دیوریتی ارزیابی شده است. به نظر می‌رسد دماهای زیر 750 درجه سانتی گراد مربوط به شرایط سولیدوس باشد و دماهای میان 750 تا 850 درجه سانتی گراد شرایط را نشان می‌دهد که در مخزن ماقمایی تعادل (Equilibration) برقرار بوده است و می‌توان آن را به عنوان دمای جایگیری توده‌های دیوریتی پذیرفت. در خانواده گرانیتی فشار با بهره‌گیری از فشارسنج هورنبلند میان $1/42$ تا $2/04$ کیلو بار بدست آمده است. دماهای ارزیابی شده از دماسنج‌های هورنبلند-پلاژیوکلاز و دمای اشباعی زیرکن (Watson & Harison, 1983) همپوشانی خوبی دارند و دامنه‌ای میان 700 تا 820 درجه سانتی گراد را نشان می‌دهند که نشانگر شرایط پایانی تعادل در مخزن ماقمایی گرانیت هاست.

از آنجا که بسیاری از دما و فشارسنج‌ها برای سنگ‌های کالک‌آلکالن طراحی شده‌اند، در ارزیابی شرایط جایگیری توده‌های خانواده آس-آگ با محدودیت روپرتو بوده‌ایم. ولی با توجه با موقعیت صحرایی مشابه توده‌های خانواده گرانیت پایین تر دیگر توده‌های نفوذی مجموعه اشتویه، فشار حاکم بر جایگیری آنها یکسان بوده است و دامنه دما جایگیری این توده‌ها با بهره‌گیری از دماسنج زیرکن میان 768 تا 865 درجه سانتی گراد بدست آمده است که به دلیل همخوانی خوب با یکدیگر می‌توان از آن به عنوان دمای پایانی جایگیری توده‌های بالستان و بردکیش استفاده کرد. گفتنی است که به طور میانگین دمای اشباعی زیرکن برای خانواده آس-آگ بیش از خانواده گرانیت است.

۶- ژئوشیمی

۶-۱. ژئوشیمی عناصر اصلی و کمیاب

فهرست کامل عناصر اصلی و کمیاب برای خانواده‌های مختلف مجموعه نفوذی شمال اشتویه در جدول ۱ آمده است. درصد وزنی SiO_2 در مجموعه نفوذی اشتویه میان 50 تا 77 متغیر است. در نمودارهای هارکر (Harker, 1909) 3 خانواده نفوذی در 3 محدوده مجزا (بجز نمونه‌های توده بردکیش) قرار دارند که نشانگر ماقمایهای اولیه متفاوت برای هریک از آنهاست. هرچند که در نمودارهای $\text{Fe}_2\text{O}_3/\text{Al}_2\text{O}_3$ ، $\text{K}_2\text{O}/\text{MgO}$ در برابر SiO_2 محدوده نمونه‌های توده بردکیش از خانواده آس-آگ با نمونه‌های خانواده‌های دیگر نفوذی مجموعه اشتویه به دلیل همپوشانی دارد. نمودارهای Zr/Hf و Ga/SiO_2 به خوبی ناخویشاوندی توده بردکیش با سنگ‌های دیوریتی و گرانیتی منطقه و باستگی بیشتر آن با نمونه‌های توده بالستان (دیگر توده خانواده آس-آگ) نمایان است (شکل ۳). همه سنگ‌های خانواده دیوریتی ماهیت کالک‌آلکالن تا کالک‌آلکالن پاتاسیم بالا و متا‌آلومین دارند (شکل‌های ۴-a و b). در نمودارهای چند عنصری دیوریت‌ها غنی‌شدگی نسبی از عناصر LIL و بی‌هنجری منفی Ta، Nb (به جز نمونه‌های توده دیبوریتی Ti/Nb) نمایان است (شکل ۵-f).

سنگ‌های خانواده گرانیتی نیز کالک‌آلکالن پاتاسیم بالا هستند هر چند بر پایه شاخص اشباع از آلمینیم $\text{[molecular Al}_2\text{O}_3/(\text{CaO}+\text{K}_2\text{O}+\text{Na}_2\text{O})]$ و نمودار (Maniar & Piccoli, 1989) سنگ‌های این خانواده پرآلومین هستند (شکل‌های ۴-a و b). در سنگ‌های گرانیتی منطقه $\text{K}_2\text{O}>\text{Na}_2\text{O}$ است. مقدار MgO فقط در سنگ‌های توده ناری که دارای بیگانه سنگ‌های باقیمانده از سنگ منشأ هستند به نسبت بالاست و مقدار این اکسید در بقیه توده‌های گرانیتی پایین است (کمتر از $2/36$ درصد وزنی). سنگ‌های خانواده گرانیتی از Rb/Ba و Rb/Sr نسبت به Sr غنی‌شدگی دارند. بنابراین مقادیر نسبت های Rb/Ba و Rb/Sr (به ویژه در سنگ‌های گرانیت دوربه) بالا و مقادیر نسبت Sr/Ba پایین است (جدول ۱). نمودارهای چند عنصری خانواده گرانیتی غنی‌شدگی نسبی از عناصر K، Rb و Ba وجود دارد. در این نمودارها بی‌هنجری منفی Nb و Sr

مقدار میانگین $Rb/Ba = 1/21$ است) سنگ‌های خانواده گرانیتی نمی‌تواند حاصل ذوب بخشی سنگ‌های آذرین کهن باشند.

از سوی دیگر با توجه به ویژگی هایی همچون غنی شدگی نسبی از LREE نسبت به HREE، وجود بی هنجاری منفی و کوچک تا متوسط Eu (شکل ۵-۶) و غنی شدگی نسبی از K، باید سنگ های رسوبی بدون گارنت، آمفیبول و پیروسن، با مقادیر قابل توجهی از پلاژیوکلاز، فلدسپار قلیایی، یو تیت و مسکوویت را برای مشنا این خانواده در نظر گرفت (جدول ۱).

خانواده گرانیتی مجموعه اشنویه از دید شاخص آلومین در ردیف سنگ‌های پرآلومین ضعیف قرار دارد (میانگین شاخص آلومین در این خانواده ۱/۱۵ است). بر پایه این ویژگی به نظر می‌رسد منشأ سنگ‌های پیتی و متاگری واکی در تشکیل ماقمای اولیه این خانواده نقش داشته‌اند که نمودار نسبت مولار $\text{CaO}/(\text{MgO} + \text{FeO}^*)$ در برابر $\text{Al}_2\text{O}_3/(\text{MgO} + \text{FeO}^*)$ این مسئله را به خوبی برای سنگ‌های منشأ خانواده گرانیتی نشان می‌دهد (شکل ۶-۳).

۷-۳. نوع و منشأ خانواده آس-آگ

توده‌های بردکیش و بالستان استوک‌های کوچکی هستند که به ترتیب ترکیب آلکالی‌سینیتی-آلکالی‌گرانیتی و آلکالی‌گرانیتی دارند. با توجه به مقادیر بالای عناصر REE³⁺ (بهوژه Zr, Y, Hf و Nb) در ترکیب این سنگ‌ها، بالا بودن نسبت HFS در سنگ‌های این خانواده و بالابودن همین نسبت در ترکیب FeO*/(MgO+FeO*) آن‌می‌باشد. آن‌می‌تواند این خانواده را با سنگ‌هایی مطابق کنند که در آن‌ها نسبت Al/Ga، مقادیر بالاتر Na₂O+K₂O و عناصر V, Cr و Ni, Cu و عناصر آلومنیومی (به طور میانگین ۱/۰۸) از گرانیت‌های نوع A دارند و بر پایه مقادیر شاخص آلومنیم (King et al., 1997) از گرانیت‌های نوع A پرآلومنیم (King et al., 1997) هستند و به دلیل A/NK > ۱ پرآلکالان نیستند. دمای اشباعی زیر کن در سنگ‌های خانواده آس-آگ C ۷۶۸° تا ۸۶۵° درجه سانتگراد ارزیابی شده است؛ بنابراین سنگ‌های این خانواده از گرانیت‌های نوع A دما بالا (High Temperature) هستند. برای مشاگرانیت‌های نوع A الگوهای متفاوتی پیشنهاد شده است. برخی از پژوهشگران تفیریق مگماهای مافیک حاصل ذوب بخشی گوشته (Bedard, 1990; Forst & Forst, 1997) را به عنوان مشاگرانیت‌های نوع A معروفی کرده‌اند. در مناطقی که این مدل پیشنهاد شده است گرانیت‌های نوع A غنی از انکلاوهای مافیک هستند و توسط دایک‌های مافیک قطع شده‌اند (Ramo & Haapala, 1991). بنابراین با توجه به نسبت دادن مشاگرانوها و دایک‌ها به گوشته اولیه، مشاگرانیت‌های نوع A نیز به تفیریق مگماهای مافیک نسبت داده شده است. در منطقه اشنویه سنگ‌های دیوریتی تنها رخساره مافیک همراه با خانواده آس-آگ هستند، که توده‌های خانواده آس-آگ ۲۰ میلیون سال از آنها جوان‌تر هستند. این مسئله و نسبت‌های بزرگتر Rb/Ba, Rb/Sr و نسبت‌های پایین‌تر Sr/Ba و مقادیر پایین‌تر CaO در خانواده آس-آگ نسبت به خانواده دیوریتی نشانگر مشابه نبودن مشاگرانهای آنهاست، بنابراین سنگ‌های خانواده آس-آگ نمی‌توانند حاصل تفیریق مگماهای مافیک باشند. پژوهشگران دیگر (برای نمونه؛ Collins et al., 1982; Whalen et al., 1987; Creaser et al., 1991) گرانیت‌های نوع A را حاصل ذوب بخشی مواد پوسته‌ای باقیمانده (گرانولیتی) که در گذشته زیر تأثیر آتاتکسی و بیرون

ریزی مذاب قرار گرفته‌اند. بر پایه این نظریه محصولات مواد مذاب مرحله اول که موجب بی‌آب شدن (Dehydration) سنگ‌های روسی دگرگون شده‌اند، می‌توانند به صورت گرانیت‌های نوع S در منطقه حضور داشته باشند. تولید گرانیت‌های نوع A از فرایند یادشده در بالا فقط در شرایط استثنایی دما بالا (Clemens et al., 1986)، فشارهای پایین (1997)، Patino Douce, 1986) و یا فوگاسیته اکسیژن پایین (Forst & Forst, 1997) (Loiselle & Wones, 1979) ممکن‌پذیر است. بر پایه داده‌های آزمایشگاهی ذوب بخشی سنگ‌های پوسته‌ای معمولی باقیمانده‌ای از هوربلند، کلینوپیر و کسن، گارتن، اکسیدها، پالاژیوکلاز و

مافيک-ميانه حاصل ذوب بخشی گوشته اولیه که الگوهای با تغیر به سمت پایین دارند، متفاوت است. در مطالعات تجربی بسیاری نشان داده شده است (برای نمونه; Rapp, 1995 و Rapp & Watson, 1995) که برای تشکیل مذاب متابالومین کم سیلیس (< 58 درصد وزنی) به وسیله ذوب بخشی بدون آب منشأ متابازالتی دمای بالاتر از 1100 درجه سانتی گراد لازم است، در صورت وجود چنین دمایی در منشأ خانواده دیوریتی (که احتمال آن کم است) چنین مذابی (بدون توجه به درجه ذوب بخشی) عموماً به وسیله $\text{Mg}^{\#}$ $100*\text{MgO}/(\text{MgO}+0.9\text{FeO}_{\text{tot}})$ و Na_2O با (44 ± 4) درصد وزنی $>$ شناخته می‌شود (Altherr et al., 2000) که سنگ‌های خانواده دیوریتی این ویژگی ها را دارند. بدین ترتیب سنگ‌های بازیک پوسته نیز منشأ خانواده دیوریتی نیستند و باید سنگ‌های گوشته تحول یافته سنگ‌کره‌ای را به عنوان سنگ منشأ خانواده دیوریتی در نظر بگیریم که با توجه به محتوای پایین عناصر خاکی کمیاب و بی‌هنگاری منفی و کوچک Eu، سنگ‌های منشأ بازیک این خانواده پلاژیوکلاز، آمفیبول، پیروکسن و احتمالاً مقداری گارنت داشته‌اند.

۷-۲. نوع و منشأ خانواده گرانیتی

خانواده گرانیتی با محتوای SiO_2 ۶۵ تا ۶۹ درصد، محتوای بالاتر K_2O و Rb و Ba ، ماهیت پرآلومین، وجود بیوتیت به عنوان کانی مافیک اصلی، وجود گارننت و مسکوویت در یکی از توده‌های این خانواده، وجود بیگانه سنگ‌ها و قطعات بیگانه دگرگونی سرشار از میکا و نبود تیتانیت‌های اولیه از گرانیت‌های نوع S به شمار می‌آید. در این خانواده توده گرانیتی دوربه از دید کانی‌شناسی و ژئوشیمیایی تفاوت‌هایی با توده‌های گرانیتی دیگر دارد که به صورت زیر می‌توان آن را توجه کرد:

در گرانیت‌های نوع S با پیشرفت روند تفریق مقدار P افزایش و مقدار Th، HREE کاهش می‌یابد و مقدار Y و MREE ثابت می‌ماند. با این تغییرات الگوی عناصر خاکی کمیاب در این گرانیت‌ها مشابه الگوی پراکنده‌گی عناصر خاکی کمیاب در گرانیت‌های نوع A می‌شود. همچنین در گرانیت‌های نوع S تفریق یافته LREE‌ها بسیار مشخص‌کننده است (Chappell & White, 1992). فراوانی کم LREE‌ها بسیار مشخص کننده است (Chappell & White, 1992).

بررسی ترکیب شیمیایی و الگوی پراکنده‌گی REE در توده‌های مختلف خانواده گرانیتی نشان می‌دهد که در توده گرانیتی دوربه مقدار Th به طور قابل توجهی از توده‌های گرانیتی دیگر کمتر است به گونه‌ای که مقدار میانگین آن در توده دوربه ۶/۷ گرم برتن است ولی در توده‌های سه کانی، ناری و دوستک به ترتیب ۲۱/۸۲، ۲۱/۸۲ و ۲۴/۲۳ گرم بر تن است. مقدار میانگین عناصر خاکی کمیاب در این توده ۳۰/۹ گرم بر تن است در صورتی که در توده‌های گرانیتی سه کانی، ناری و دوستک به ترتیب ۱۷۶/۵، ۱۸۵ و ۱۳۵/۸ گرم در تن است. اختلاف مقدار میانگین REE در توده‌های یادشده در ارتباط با مقادیر پایین تر LREE و HREE در توده گرانیتی دوربه است و مقادیر MREE و Y در توده دوربه تقریباً مشابه دیگر توده‌های گرانیتی است (جدول ۱). بر پایه ویژگی‌های یادشده به نظر می‌رسد که توده دوربه از گرانیت‌های نوع S تفریق یافته (Chappell & White, 1992) (Fractionated S-Type).

گراینیت های نوع S منشأ پوسته ای دارند و سنگ های پلیتی یا سنگ های فلسیک تا میانه پوسته ای (شامل سنگ های رسوبی نابالغ (Immature) همچون متاگری واک یا سنگ های آذرین کهنه) به عنوان منشأ برای آنها در نظر گرفته می شوند (Chappell & White, 1974; Miller, 1985). با توجه به وجود انکلاوه های دگرگونی سرشار از میکا با منشأ رسوبی، مقادیر پایین Na_2O ($> 3/98$ درصد)، مقادیر بالای K_2O (از $2/86$ تا $5/98$ درصد و به طور میانگین $4/27$ درصد وزنی برای خانواده)، مقادیر بالای عناصر LIL ($\text{Rb} = 111 - 192$ و به طور متوسط 153 گرم در تن و $\text{Ba} = 22 - 1376$ گرم در تن) و مقادیر بالای نسبت Rb/Ba با

در محدوده VAG نشانگر تشکیل سنگ‌های دیوریتی منطقه در محیط فرورانش است. همچنین سنگ‌های خانواده دیوریتی با داشتن ویژگی‌های گرانیت‌های نوع I متاآلومین ویژگی‌های گرانیت‌ویدهای حاشیه فعل قاره‌ای را دارند. به طور مشابه با خانواده دیوریتی، نمونه‌های خانواده گرانیتی نیز روی نمودار (Y+Nb) در مرز محدوده‌های VAG و WPG قرار دارند (شکل ۶-۶). در این نمودار موقعیت نمونه‌های این خانواده منطبق بر ترکیب میانگین پوسته بالای قاره‌ای است. این مسئله نشانگر منشأ پوسته‌ای خانواده گرانیتی است و با ماهیت نوع S و پرآلومین آنها کاملاً همانگی دارد. در این حالت نمودار یادشده بیشتر نشانگر منشأ سنگ‌هاست، تا جایگاه زمین ساختی آنها (Pearce, 1996; Forster et al., 1997). در کمان‌های قاره‌ای گرانیت‌های با منشأ پوسته‌ای در محدوده‌های GOLC (گرانیت‌های با منشأ سنگ‌های پلیتی محض بهدلیل Rb بالا) یا WPG قرار می‌گیرند. بدین ترتیب جایگاه زمین ساختی خانواده گرانیتی نیز کمان قاره‌ای است و تشکیل آنها در اثر ذوب بخشی پوسته تحت تأثیر حرارت ماسکمای بازی مادر خانواده دیوریتی با سیال‌های غنی از مواد فرار حاصل از پوسته فرورانده بوده است (Wilson, 1989; Forster et al., 1997). یک احتمال دیگر این است که جایگاه زمین ساختی خانواده گرانیتی از نوع همزمان با برخورد باشد. خانواده گرانیتی به طور همزمان با خانواده دیوریتی در منطقه جایگزین شده‌اند (به بخش ۱ نگاه کنید). از آنجا که گرانیت‌های همزمان با برخورد حاصل ذوب بخشی پوسته در اثر فرورانش سترشده‌گی پوسته هستند، بنابراین تشکیل دو خانواده یادشده یکی در اثر فرورانش و ذوب بخشی گوشته تحول یافته و دیگری در اثر برخورد قاره‌ای به طور همزمان دور از ذهن به نظر می‌رسد. از سوی دیگر وجود آنکه‌های پلاژیک با سن کرتاسه – پالتوسون و حتی اونسن در مجموعه افیولیتی شمال اشتویه (نقی زاده و همکاران، ۱۳۸۳) نشانگر تداوم رسوب گذاری در اقیانوس نوتیس در زمان یادشده است و در زمان تشکیل مجموعه نفوذی اشتویه (کرتاسه پایانی) برخورد صفحات ایران مرکزی – عربستان رخ نداده است و همزمان با برخورد بودن خانواده گرانیتی نفی می‌شود. بر پایه نمودار (Y+Nb)-Rb (شکل ۶-۶) از آنجا که این خانواده در بین سازندهای رسوبی (با دگرگونی ضعیف و بدون دگرگونی) و سنگ‌های آذرین درونی وابسته به کمان قاره‌ای جایگزین شده است؛ بنابراین گرانیت‌های این خانواده از نوع گرانیت‌های میان صفحه‌ای به شمار می‌آیند. جایگاه میان صفحه قاره‌ای با ماهیت نوع A پرآلومین خانواده آس – آگ نیز کاملاً همانگی دارد. گرانیت نوع A پرآلومین حاصل فرایندهای پایانی گرانیت‌زایی کمرندهای کوهزایی هستند (Forster et al., 1997 & 2001; King et al., 1997 & 2001) که با توجه به جایگاه زمین ساختی خانواده دیوریتی و گرانیتی خانواده آلکالن مرحله پایانی فعالیت ماسکمایی کمان قاره‌ای در منطقه اشتویه است.

۹- نتیجه‌گیری

خانواده‌های دیوریتی و گرانیتی به طور همزمان در زمان کرتاسه پایانی (۱۰۰ میلیون سال پیش) همزمان با فرورانش پوسته اقیانوسی تیس جوان به زیر پوسته قاره‌ای ایران مرکزی تشکیل شده‌اند (شکل ۷-۷). ماسکمای مادر سنگ‌های دیوریتی منطقه در اثر ذوب بخشی گوشته تحول یافته سنگ‌کرمه‌ای پدید آمده است. در شرایط فرورانش، پوسته اقیانوسی تیس جوان تحت تأثیر اصطکاک و جریان همرفت حرارتی گرم و در پی آن سنگ‌های پوسته اقیانوسی به طور پیش‌رونده در رخساره‌های شیست سبز، آمفیبولیت تا اکلوژیت دگرگون و دچار ذوب بخشی شده‌اند. مایعات آبدار از واکنش‌های دگرگونی و مذاب میانه تا اسیدی آبدار حاصل از پوسته فرورانده روى گوهای از گوشته که زیر دمای سولیدوس خود قرار دارد اثر کرده و متاسوماتیسم و ذوب بخشی آن را به دنبال داشته است. بخش اصلی ذوب در سمت کره

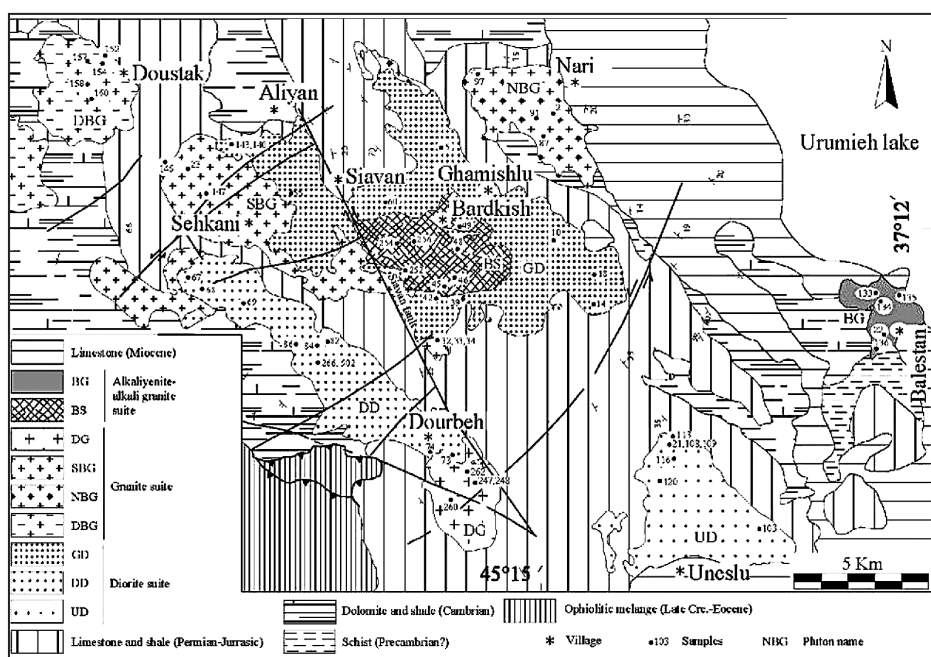
کوارتز تولید می‌کند و امکان تولید باقیماندهای با مقادیر قابل توجهی پلاژیوکلاز، کوارتز و مقداری فلدسپار قلایی در اثر ذوب بخشی مرحله اول از مواد پوسته‌ای یادشده در بالا که بتواند در مرحله دوم ذوب بخشی مذاب گرانیتی را تولید کند، دور از ذهن به نظر می‌رسد (Jung et al., 2000). برخی از زمین شناسان (Anderson, 1983; Creaser et al., 1991) یک منشأ تونالیتی تهی‌نشده (Undepleted Tonalite) یا تونالیتی (Patino Douce, 1997) را برای گرانیت‌های نوع A متاآلومین پیشنهاد کردند. King et al. (2001) با جمع‌بندی نظرات پژوهشگران یادشده و تغییر مختصر آن یک مدل تک مرحله ای برای گرانیت‌های نوع A پرآلومین ارایه کرده و آنها را حاصل ذوب بخشی منشأ کوارتز – فلدسپاری تفریق‌نیافه (Unfractionated) دانستند. ایشان ذوب بخشی در دمای بالا را به عنوان شاهدی از عصاره گیری (Refractory) شدید منشأ کوارتز – فلدسپاری در گرانیت‌های نوع A نسبت به سنگ‌های منشأ ویژه گرانیت‌های نوع I دمای پایین عنوان می‌کنند و نبود سنگ‌های میانه و تدریجی میان گرانیت‌های انواع I و A را دلیلی برای شرایط خاص (دمای بالا، فوگاسیته بهنسبت پایین اسکیزن، مقدار آب محدود) حاکم بر تشکیل ماسکمای نمودار کوارتز – فلدسپاری می‌دانند. در مجموعه نفوذی اشتویه گرانیت‌های خانواده آس – آگ از نوع A پرآلومین هستند که بر پایه آخرین پژوهش‌ها سنگ‌های منشأ آنها احتمالاً از نوع کوارتز – فلدسپاری تفریق‌نیافه است. حجم کوچک توده‌های مختلف خانواده آلکالن (توده‌های بالستان و بردکیش به ترتیب ۱۰ و ۲۵ کیلومتر مربع گسترش دارند) و دمای بالای تشکیل آنها (دمای اشباعی زیرکن در این خانواده به طور میانگین ۸۰ درجه سانتی گراد است) نشانگر حجم پایین ماسکمای و درصد پایین ذوب بخشی در دمای بالاست. بالا بودن نسبت O₂+FeO*/MgO در این خانواده (به طور میانگین ۳/۷۱) نسبت به خانواده‌های دیوریتی و گرانیتی (به ترتیب ۲/۰۲ و ۱/۶۵) نشانگر غنی بودن نسبی منشأ آن از Ti است که نشان از ذوب بخشی در دمای بالا و گریزندگی پایین اسکیزن دارد (King et al., 2001). نبود غنی شدگی Mg و دمای بالای ذوب در خانواده آس – آگ احتمالاً به دلیل درصد های پایین ذوب بخشی از منشأ کوارتز – فلدسپاری (که خود نسبت به مواد مافیک، MgO پایین تری دارد) است. منشأ کوارتز – فلدسپاری برای خانواده آس – آگ باید از کانی‌های فرعی همچون زیرکن، آپاتیت، تیتانیت و زینوتیم که محتوای قابل توجهی از عناصر REE³⁺ و HFS دارند، غنی بوده باشد که ذوب آنها در دمای بالا آسان و موجب غنی شدگی نسبی گرانیت‌های بالستان و بردکیش از این عناصر شده است. در منطقه اشتویه رخنمون دو توده بردکیش و بالستان (دو توده خانواده سنگ‌های آلکالن) حدود ۱۲ کیلومتر از بکدیگر فاصله دارند که نشانگر یکی نبودن منابع ماسکمای آنهاست؛ هر چند نسبت K₂O/Na₂O در دو توده مشابه است، ولی تفاوت قابل ملاحظه نسبت‌های Rb/Ba و Rb/Sr تا اندازه‌ای یکی نبودن منابع ماسکمای آنها را تأیید می‌کند.

۸- جایگاه زمین ساختی مجموعه نفوذی اشتویه

در شکل ۶-۶ موقیت نمونه‌های مجموعه نفوذی اشتویه روى نمودار Rb-(Y+Nb) نمایش داده شده است. در این نمودار نمونه‌های توده دیوریتی دوربه (به جز یک نمونه) و توده دیوریتی یونسلو در محدوده VAG هستند ولی بیشتر نمونه‌های دیوریت قمیشلو در محدوده WPG قرار دارند. قرار گرفتن نمونه‌های دیوریت قمیشلو در محدوده WPG در تأثیر پدیده‌های ACF یا MASH (Forster et al., 1997) است که شواهد آمیزش و آینه‌گری ماسکمایی در مز توده‌های دیوریتی قمیشلو و گرانیت سه کانی (شواهد صحرایی، سنگ‌نگاری و کانی شناسی) تأثیر پدیده‌های AFC یا MASH را تأیید می‌کند. از سوی دیگر نبود شواهد یادشده در سنگ‌های توده دیوریتی دوربه دلیلی بر نزدیک بودن ترکیب این توده به ماسکمای اولیه است. بنابراین قرار گرفتن نمونه‌های این توده

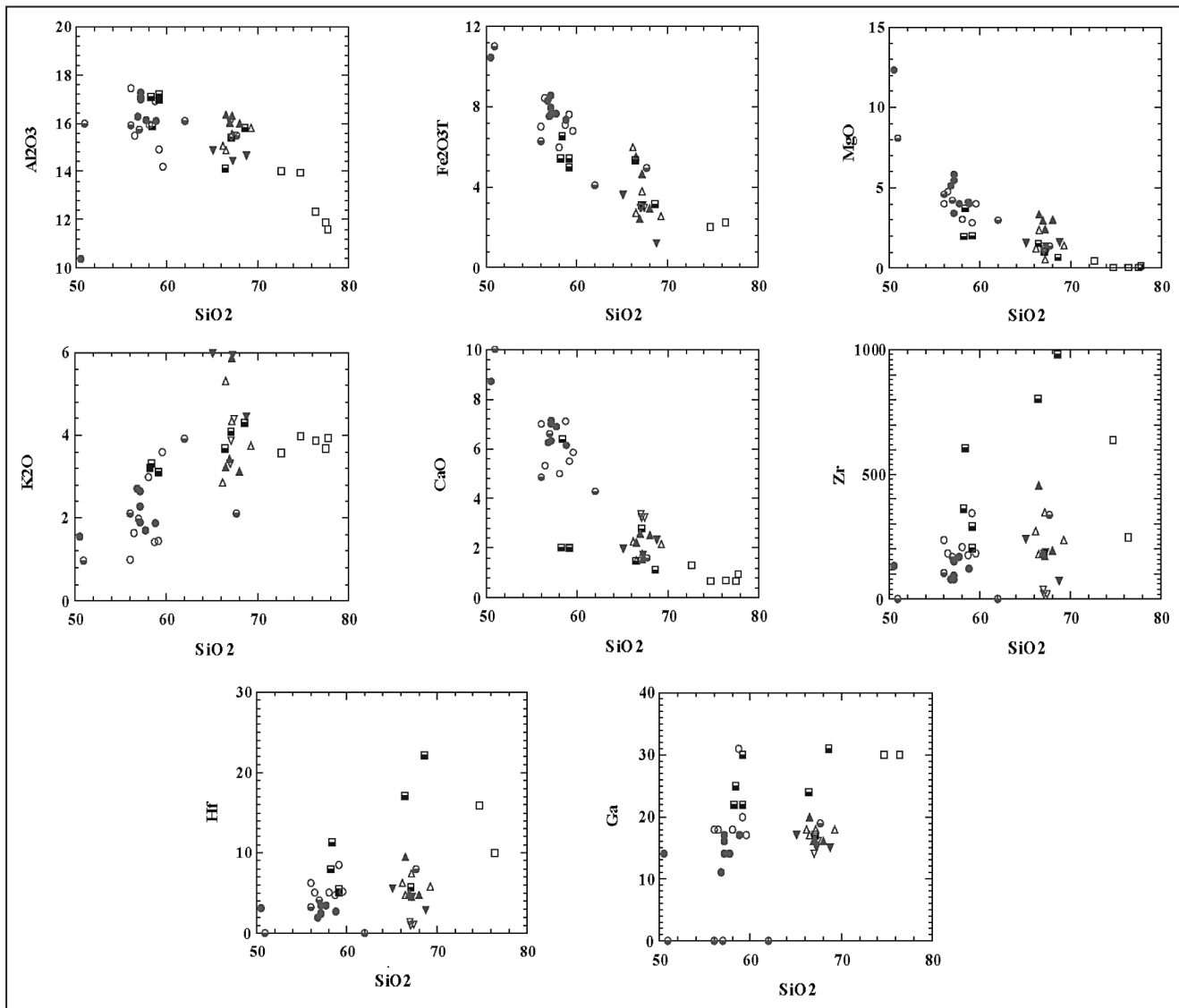
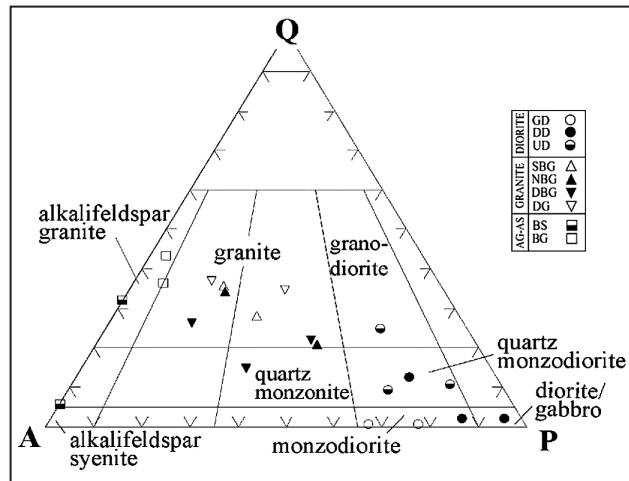
۹۰۰ درجه سانتی گراد و فشار ۱۰ کیلو بار حاکم باشد می‌تواند حتی در حالت بود سیال‌ها ذوب شوند. بدین ترتیب ماغماهای خانواده گرانیتی مجموعه نفوذی اشتویه با ویژگی‌های آشکار گرانیت‌های نوع S به احتمال زیاد از ذوب بخشی سنگ‌های متاپلیتی- متاگریواکی پوسته قاره‌ای پدید آمده است. دمای تشکیل خانواده گرانیتی ۷۰۰ تا ۸۲۰ درجه سانتی گراد بوده که حرارت لازم توسط ماغماهای دیوریتی تأمین شده است. محلول‌های حاصل از پوسته اقیانوسی فروزانده نیز ذوب بخشی سنگ‌های متاسدیمتر را آسان کرده‌اند. حدود ۲۰ میلیون سال پس از تشکیل خانواده دیوریتی و گرانیتی، در مرحله دوم تشکیل مجموعه نفوذی اشتویه، خانواده سنگ‌های آس- آگ از ذوب بخشی مواد کوارتز- فلدسپاری تغیری نیافه در پوسته پایینی پدید آمده‌اند (شکل ۷-۸). بر پایه مطالعات (Whalen et al. 1987) و King et al. (1997 and 2001) گرانیت‌های نوع A پرآلومین در ارتباط با تشکیل کافت و فرایندهای غیرکوه‌زایی شکل نمی‌گیرند، ولی به باور Pearce (1996) و Forster et al. (1997) گرانیت‌های نوع A پرآلومین در مراحل پایانی کوه‌زایی یا فعالیت ماغمایی حاشیه فعال قاره‌ای پدید آیند. بنابراین خانواده سنگ‌های آس- آگ احتمالاً در مراحل پایانی فعالیت ماغمایی کمان قاره‌ای به‌دلیل تغییر در میزان همگرایی صفحات، وقفه در فروزانش و برداشت فشار (Decompression) از ذوب بخشی پوسته پایینی پدید آمده است. هر چند احتمال تشکیل آنها در اثر ذوب وجود دارد. در شکل ۷ طرح گونه‌ای از چگونگی تشکیل ماغماهای اولیه مجموعه نفوذی اشتویه در کمان حاشیه فعال قاره‌ای ارایه شده است.

گوشه‌ای رخ می‌دهد که به‌طور اولیه حتی شده‌تر از منبع MORB است ولی افزوده شدن محلول‌های یادشده در بالا موجب تحول و غنی شدگی آن می‌شود. ۱۰ Pearce & Peate (1995) درصد از ذوب سست کرده گوشه‌ای را تحت تأثیر محلول‌های غنی از مواد فرار حاصل از پوسته اقیانوسی فروزانده و بیش از ۱۵ درصد آن را وابسته به افت فشار و سبرای سنگ‌کرده قاره‌ای دانسته‌اند. بدین ترتیب حجم بزرگی از ماغماهای دیوریتی تولید و به درون پوسته نفوذ می‌کند. این ماغما از نوع I دمای بالا، متاآلومین و کالک‌آکالک بوده و به‌دلیل وجود آب کافی هورنبلند کانی فرومیزین رایج آن است. همچنین به دلیل وجود محلول‌های غنی از مواد فرار به روشنی از عناصر LIL نسبت به HFS غنی است. هرچند تأثیر پوسته بر مؤلفه‌های عمومی ماغماهای حاصل از فروزانش کم است، اما ماغماهای دیوریتی به درون پوسته قاره‌ای ایران مرکزی نفوذ کرده و به هنگام عبور از پوسته قاره‌ای با سبرای متاح MASH AFC ۵۰ کیلومتر تحت تأثیر پدیده‌های AFC یا (Pearce, 1996). نفوذ ماغماهای مافیک به درون پوسته و تشکیل مخازن ماغمایی قاعده آن (و احتمالاً بخش‌های بالای آن) موجب ذوب بخشی پوسته و تشکیل ماغماهای مادر سنگ‌های گرانیتی منطقه شده است. در همه مدل‌های کمان قاره‌ای (مانند کوردیلر) تولید ماغما از ذوب بخشی پوسته اقیانوسی فروزانده یا گوشه تحول یافته توسط مرحله دوم تشکیل Harris et al., (1984; Wilson, 1989; Picher, 1993; Pearce, 1996) مacula، یعنی ذوب گستره مواد پوسته‌ایی دنبال می‌شود (Wilson, 1989; Picher, 1993; Pearce, 1996). بر پایه مطالعات آزمایشگاهی Vielzeuf & Montel (1994) بیشتر سنگ‌های متاسدیمتر پوسته‌ای در ناحیه‌ای که شرایط P/T میان دمای ۸۰۰ درجه سانتی گراد و فشار ۲ کیلو بار تا دمای

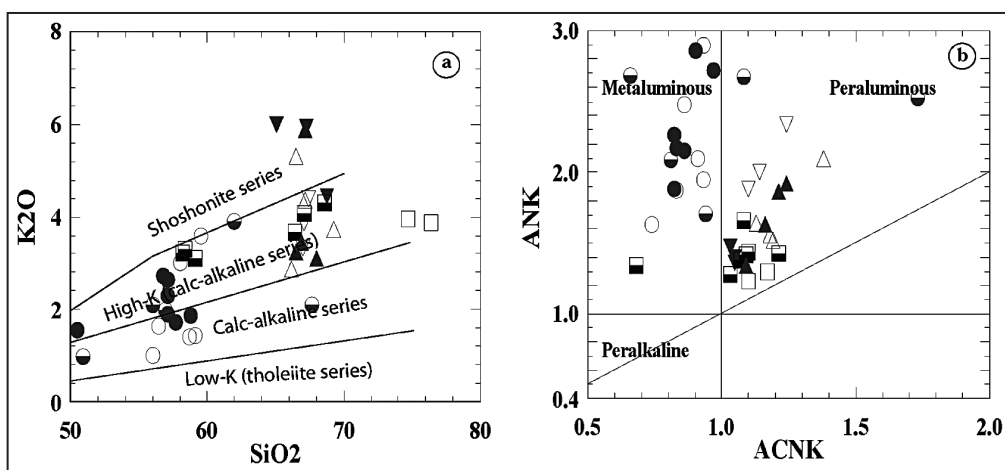


شکل ۱- نقشه زمین‌شناسی منطقه مورد مطالعه. در نقشه زمین‌شناسی توده‌های خانواده دیوریتی شامل قمیشلو، دوربه و یونسلو به ترتیب با نشانه‌های اختصاری GD، DD و UD؛ توده‌های خانواده گرانیتی شامل سه کانی، ناری، دوستک و دوربه به ترتیب با نشانه‌های SBG، NBG و DBG و DG نمایش داده شده‌اند. محل برداشت نمونه‌های ژئوشیمی در نقشه آورده شده است.

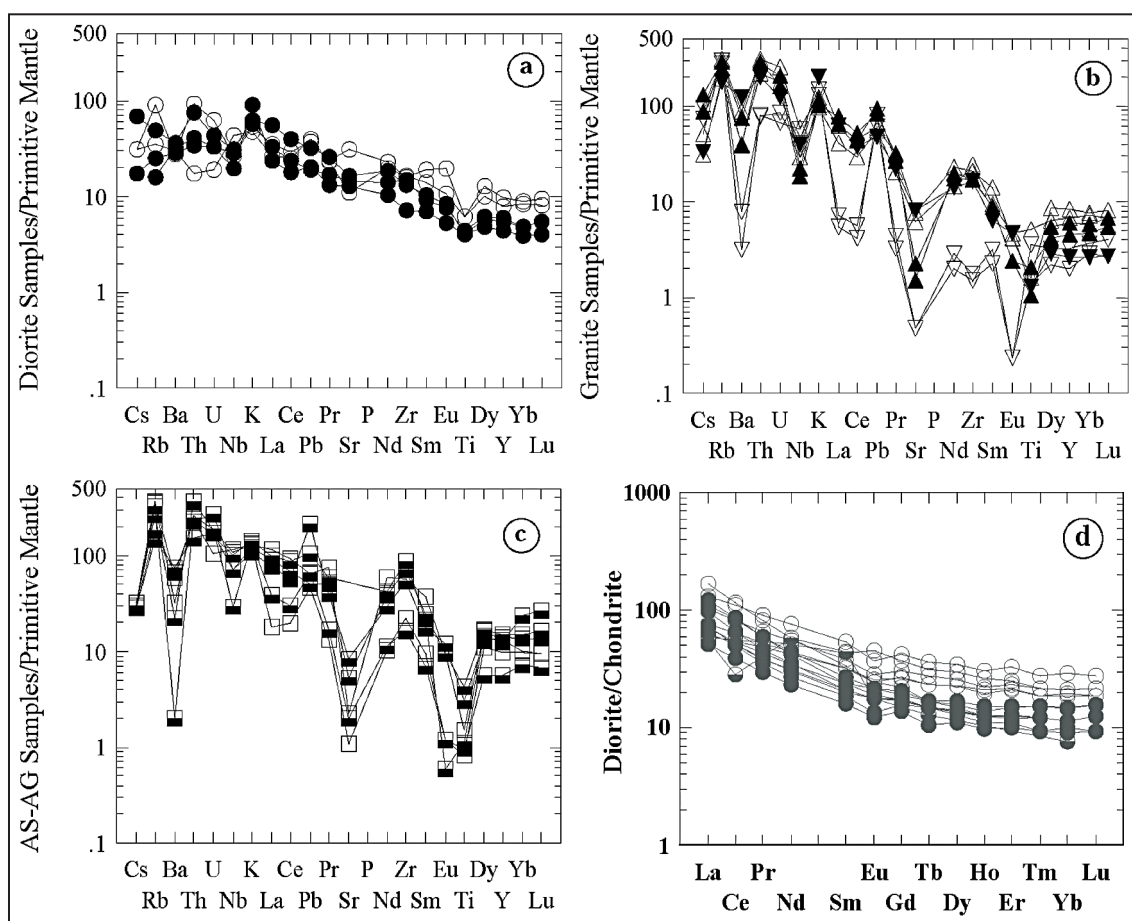
شکل ۲- ترکیب مدار سنگ‌های نفوذی مجموعه اشتویه با استفاده از نام گذاری (Streckeisen) (1976). در این نمودار نمونه‌های خانواده دیوریتی با نشانه دایره (توده قمیشور با دایره خالی، توده دوربه با دایره پر و توده یونسلو با دایره نیمه‌پر)، خانواده گرانیتی با نشانه مثلث (توده سه‌کانی با مثلث سر بالای خالی، توده ناری با مثلث سر بالای پر، توده دوستک با مثلث سر پایین پر و توده دوربه با مثلث سر پایین خالی) و نمونه‌های خانواده آس-آگ با نشانه مریع (توده بالستان با مریع خالی و توده بردکیش با مریع نیمه‌پر) نمایش داده شده‌اند.



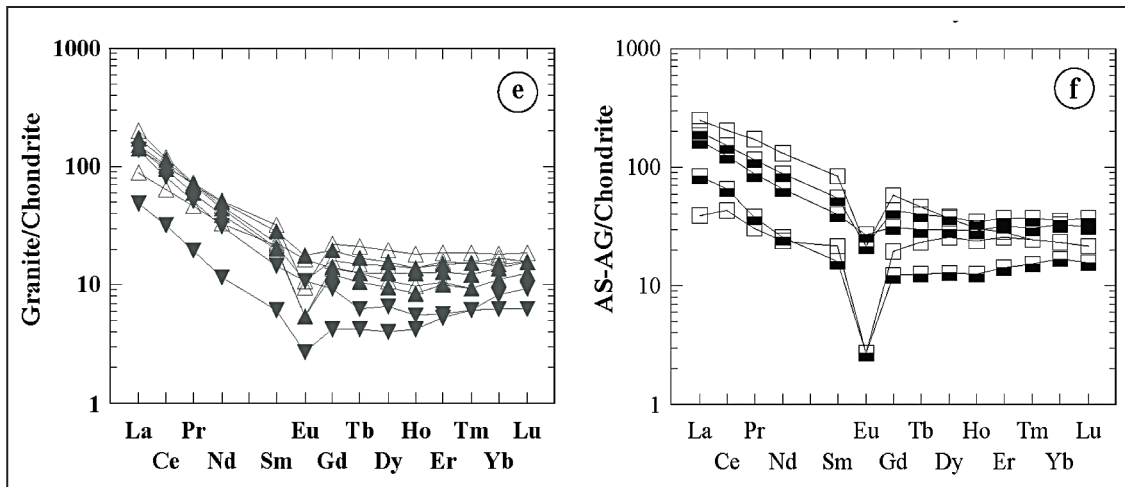
شکل ۳- بررسی ارتباط رئوشیمیابی خانواده‌های مختلف در مجموعه نفوذی اشتویه با استفاده از نمودارهای شیمیابی. در نمودارهای عناصر اصلی بر حسب ppm و عناصر کمیاب بر حسب ppm در برابر SiO_2 رسم شده‌اند (نشانه‌ها مشابه شکل ۲ است).



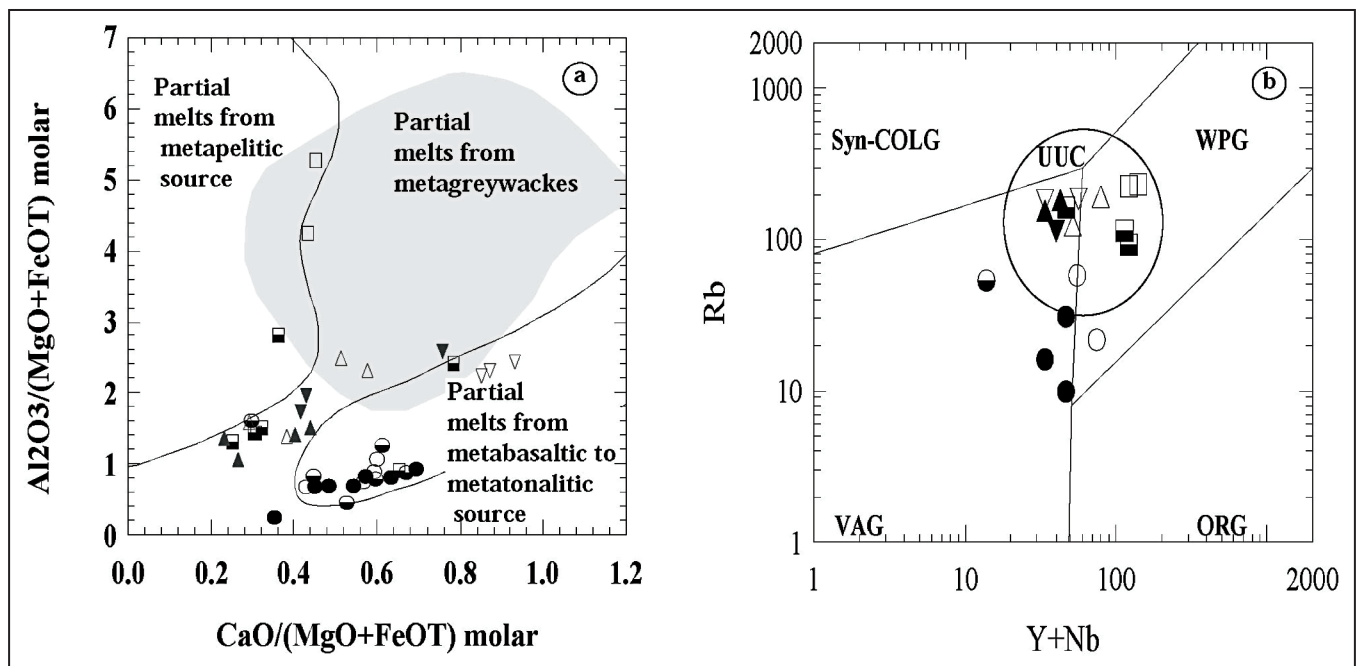
شکل ۴ - a) تعیین سری ماقمایی سنگ‌های مجموعه نفوذی شمال اشتویه بر پایه نمودار K_2O در برابر SiO_2 و (b) نمودار A/CNK در برابر A/NK برای جدایش سنگ‌های نفوذی پرآلومین، متآلومین و پرآلکالن (Maniar & Piccoli, 1989) (نشانه‌ها مشابه شکل ۱۲ است).



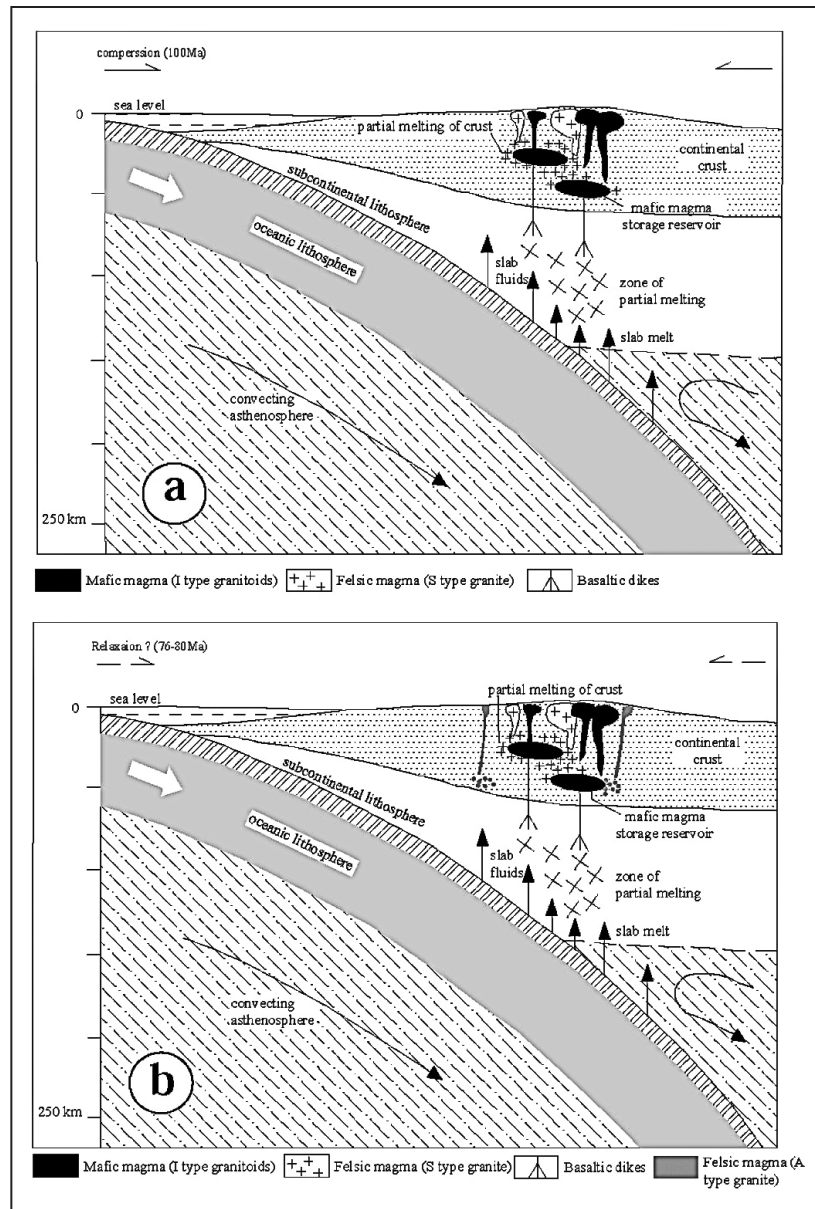
شکل ۵ - a ، b و c) نمودار چندعنصری بهنجارشده نسبت به گوشه اولیه به ترتیب برای خانواده‌های دیوریتی، گرانیتی و آس-آگ (Sun & McDonough, 1989) و d) الگوی پراکنده‌گی عناصر خاکی کمیاب بهنجارشده نسبت به کندریت به ترتیب برای خانواده‌های دیوریتی، گرانیتی و آس-آگ (Boynton, 1984) (نشانه‌ها مشابه شکل ۲ است).



شکل ۵- e و f) الگوی پراکندگی عناصر خاکی کمیاب بهنجارشده نسبت به کندریت به ترتیب برای خانواده‌های دیوریتی، گرانیتی و آس- آگ (تشانه‌ها مشابه شکل ۲ است). (Boynton, 1984)



شکل ۶- a) نمودار نسبت مولار $\text{Al}_2\text{O}_3/(\text{MgO}+\text{FeOT})$ در برابر نسبت مولار $\text{CaO}/(\text{MgO}+\text{FeOT})$ (Altherr et al., 2000). در این نمودار بیشتر نمونه‌های خانواده گرانیتی نزدیک به محدوده منشأ متاپلیتی قرار دارند و b) تعیین جایگاه زمین‌ساختی مجموعه تفوذی اشتویه با بهره‌گیری از نمودار Pearce et al. (1984). به این نمودار ترکیب میانگین پوسته بالایی قاره‌ای (موقعیت UCC) با استفاده از Pearce (1996) افزوده شده است (تشانه‌ها مشابه شکل ۲ است).



شکل ۷- طرح گونه‌ای از چگونگی تشکیل مagmaهای اولیه مجموعه نفوذی اشتویه در کمان حاشیه فعال قاره‌ای.

PLUTON	GD	GD	GD	GD	GD	GD	DD	DD	DD	DD	DD	DD	UD	UD	UD	UD	UD	SBG	SBG	SBG		
Sample	10	14	39	5	60	55	67	68	69	74	82	84	86	266	21	108	113	120	103	32	23	143
SiO ₂	59.13	56.48	58.74	59.54	55.98	58.0	-	50.49	57.69	57.11	58.76	57.09	56.79	57.09	67.71	62.01	56.93	55.98	50.87	66.21	66.54	67.19
TiO ₂	1.75	1.32	1.33	0.66	1.37	1.38	-	0.95	0.95	0.87	0.91	1.12	0.87	1.26	1.01	1.51	0.99	1.17	0.97	1.12	0.34	0.54
Al ₂ O ₃	14.90	15.49	16.91	14.19	17.45	15.96	-	10.47	16.12	16.98	16.09	17.08	16.26	17.29	15.48	16.1	15.75	15.93	15.98	15.06	14.86	15.57
Fe ₂ O ₃ *	7.61	8.41	7.08	6.8	7.18	6.31	-	10.47	7.65	7.62	7.34	7.95	8.31	8.55	4.96	4.09	7.53	6.26	11.01	5.98	2.7	3.81
FeO*	6.85	7.57	6.37	6.12	6.30	5.40	-	9.42	6.88	6.86	6.6	7.15	7.48	7.69	4.46	3.68	6.78	5.63	9.91	5.38	2.43	3.43
MnO	0.19	0.15	0.17	0.14	0.14	0.00	-	0.21	0.19	0.17	0.15	0.21	0.18	0.18	0.14	0.11	0.18	0.17	0.55	0.17	0.15	0.14
MgO	2.82	4.71	4.11	3.98	3.66	3.00	-	12.32	3.98	3.41	3.98	5.42	5.12	5.8	1.33	2.96	4.18	4.6	8.09	1.26	2.36	0.55
CaO	5.49	5.32	7.11	5.84	6.55	5.00	-	8.69	6.89	6.98	6.12	7.13	6.23	6.31	1.57	4.28	6.61	4.83	9.98	2.28	1.51	1.76
Na ₂ O	3.88	3.43	3.21	2.92	2.98	3.00	-	2.64	3.21	3.51	3.97	2.12	2.8	2.12	2.34	3.17	3.28	2.23	2.98	3.69	2.45	3.21
K ₂ O	1.44	1.63	1.42	3.59	1.48	3.00	-	1.56	1.71	1.9	1.87	2.72	2.65	2.11	3.91	1.99	2.11	0.98	2.86	5.31	4.35	
P ₂ O ₅	0.63	0.29	0.37	0.26	0.36	1.00	-	0.21	0.16	0.12	0.11	0.18	0.16	0.27	0.52	0.17	0.32	0.16	0.15	0.11	0.11	
LOI	0.35	1.2	0.02	0	0.88	0.60	-	0	0.81	1.15	1.27	1.24	0.78	0.98	0.56	0	0.3	0	0	0.8	0.33	0.35
Total	98.19	98.43	100.47	97.92	98.03	97.25	-	98.01	99.36	99.82	100.58	101.76	100.24	102.39	97.37	98.41	98.26	93.45	101.73	99.59	96.70	97.58
Ba	449	195	212	169	395	775	203	210	223	252	103	56	201	168	406	-	388	342	-	280	536	701
Rb	48	58	22	29	63	76	21	8	10	31	10	3	16	16	122	-	54	45	-	123	151	111
Sr	286	230	652	257	250	403	430	270	310	350	335	270	268	316	367	-	411	437	-	130	131	227
Y	54	36	44	35	39	23	14	23	27	25	26	25	20	32	28	-	10	27	-	31	26	21
Zr	346	176	185	238	207	81	134	169	150	123	95	81	339	-	170	105	-	274	181	347		
Nb	38	19	31	17	26	65	18	23	20	22	13	14	14	25	14.14	-	3.9	3.9	-	21	32	56
Th	6.1	7.8	1.5	4.8	7.1	9.5	3.7	7.1	3.5	6.3	4.7	2.5	2.9	7.6	10.8	-	0	0	-	18.8	23.1	19.5
Pb	7.4	7	7.3	4.4	7.9	5.3	10.2	6.6	3.5	5.9	2.9	3.8	4.2	11.4	-	0	0	-	10.4	11.7	6.6	
Ga	20	18	31	17	18	18	15	14	14	17	17	14	11	16	19	-	0	0	-	18	17	18
Hf	8.5	5.1	4.7	5.2	6.2	5.1	1.8	3.1	3.5	3.5	2.7	2.5	2	2.4	8	-	4.1	3.2	-	6.3	4.7	7.4
Cs	1.6	1	1	1.1	1.9	1	2.8	0.15	0	2.19	2.46	0.16	0.56	0.44	4.8	-	1.7	1.1	-	0.98	2.47	1.02
Sc	54	62	109	70	54	45	72	61	90	62	66	80	87	71	61	-	21	22	-	58	61	55
Ta	2.4	1.4	1.7	1	1.8	4.5	0.7	1.2	0.9	0.8	0.8	0.5	0.7	1.5	0.3	-	1.4	2.4	-	1.8	3	4.1
La	40.6	23.9	18.4	19.0	31.7	52.1	19.2	30.4	22.7	38.0	22.9	20.1	16.0	34.4	21.8	-	17	12	-	27.7	43.8	61.2
Ce	88.3	51.5	44.9	43.2	67.1	92.6	34.6	53.2	41.5	69.7	40.1	41.1	31.5	67.8	43.3	-	23	16	-	52.0	74.0	96.8
Pr	11.0	6.4	6.5	5.9	8.1	9.9	3.8	5.6	4.6	7.2	4.3	4.8	3.6	7.3	5.3	-	0	0	-	5.6	7.2	8.9
Nd	46.0	26.5	30.7	25.0	33.0	35.1	14.1	21.0	18.8	25.4	16.2	18.1	14.1	26.6	20.9	-	35	14	-	19.8	23.9	28.0
Sm	10.5	6.3	8.5	6.3	7.5	6.5	2.8	4.1	4.1	4.6	3.6	3.9	3.1	5.2	4.6	-	8.7	7.3	-	4.2	4.2	4.4
Eu	2.7	1.8	3.3	1.9	2.1	0.9	0.9	1.3	1.4	1.0	1.3	0.9	1.6	1.6	-	1.3	1.4	-	0.8	0.7	1.2	
Gd	11.0	6.9	9.7	6.8	8.0	5.7	2.7	4.4	4.6	4.5	4.1	4.5	3.6	5.3	4.9	-	0	0	-	4.2	3.8	3.6
Tb	1.7	1.1	1.5	1.3	0.8	0.4	0.7	0.7	0.7	0.5	0.8	0.8	0.8	0.8	-	0.61	0.5	-	0.7	0.6	0.6	
Dy	11.0	7.3	9.6	7.3	8.2	4.8	2.6	4.1	4.6	4.3	4.4	4.4	3.6	5.4	5.0	-	0	0	-	4.7	4.2	3.5
Ho	2.2	1.4	1.9	1.5	1.6	0.9	0.8	0.9	0.9	0.9	0.9	0.7	1.1	1.0	-	0	0	-	1.0	0.8	0.7	
Er	6.9	4.4	5.3	4.5	4.9	2.7	1.5	2.3	2.7	2.7	2.6	2.1	3.2	3.1	-	0	0	-	3.3	2.7	2.2	
Tm	0.9	0.6	0.7	0.6	0.4	0.2	0.3	0.4	0.4	0.4	0.3	0.5	0.5	-	0	0	0	-	0.5	0.4	0.3	
Yb	6.1	4.1	4.4	3.9	4.4	2.4	1.3	2.1	2.4	2.4	2.4	1.9	3.0	3.1	-	1.6	1.3	-	3.5	2.9	2.3	
Lu	0.9	0.6	0.7	0.6	0.4	0.2	0.3	0.4	0.4	0.4	0.4	0.3	0.5	0.5	-	0	0	-	0.5	0.5	0.4	

	PLUTON	SBG	NBG	NBG	NBG	NBG	DBG	DBG	DBG	DG	DG	FG	FG	FG	FG	BS	BS	BS	BS	BS	BS	BS	BS	
Sample	147	2	87	91	97	152	154	160	248	260	262	133	135	136	134	22	45	46	48	49	252	254	256	
SiO ₂	69.31	66.51	67.98	67.21	66.92	68.79	67.27	65.11	67.45	67.11	66.98	77.52	77.72	72.65	76.37	74.72	59.11	66.45	58.21	59.12	67.11	68.61	58.34	
TiO ₂	0.35	0.71	0.44	1.21	0.23	0.15	0.28	0.42	0.31	0.78	1.05	0.11	0.16	0.36	0.18	0.33	1.87	0.93	1.98	1.56	0.21	0.24	0.66	
Al ₂ O ₃	15.81	16.34	15.98	16.30	16.03	14.7	14.43	14.87	15.48	15.43	16.01	12	12	14	12.35	13.94	16.98	14.12	17.11	17.21	15.43	15.8	15.89	
Fe ₂ O ₃ *	2.56	5.49	2.94	4.64	2.43	1.23	3.12	3.6	2.96	2.98	2.97	2.5	1.67	2.89	2.26	2.03	5.43	5.32	5.42	4.98	3.11	3.16	6.53	
FeO*	2.3	4.94	2.65	4.18	2.19	1.11	2.81	3.24	2.66	2.68	2.67	2.25	1.5	2.6	2.03	1.83	4.89	4.79	4.88	4.48	2.80	2.84	5.88	
MnO	0.13	0.09	0.02	0.13	0.03	0.09	0.14	0.09	0.12	0.12	0.14	0.05	0.06	0.06	0.05	0.05	0.21	0.12	0.22	0.22	0.07	0.07	0.18	
MgO	1.42	3.34	3.01	2.42	2.99	1.61	1.34	1.58	1.16	1.21	1.09	0.02	0.13	0.43	0.01	0.02	1.98	1.54	1.95	1.98	0.96	0.63	3.72	
CaO	2.17	2.24	2.52	1.54	2.57	2.35	1.74	1.96	3.22	3.22	3.36	0.64	0.93	1.29	0.69	0.66	1.98	1.48	2.01	2.01	2.76	1.12	6.38	
Na ₂ O	2.12	3.98	3.02	3.53	2.98	3.14	2.56	2.53	2.11	2.13	1.98	2.96	3.63	2.81	3.57	3.93	5.43	4.29	5.23	5.23	2.98	3.90	5.01	
K ₂ O	3.74	3.23	3.11	5.87	3.43	4.45	5.93	5.98	4.38	3.87	3.32	3.67	3.93	3.57	3.87	3.97	3.09	3.68	3.21	3.11	4.08	4.31	3.31	
P ₂ O ₅	0.09	0.14	0.12	0.03	0.16	0.03	0.08	0.13	0.13	0.09	0.06	0.01	0.01	0.07	0.01	0.02	0.24	0.14	0.32	0.28	0.07	0.06	0.18	
LOI	0.44	0.58	0.3	0.34	0.35	0.27	0.5	0.42	0.3	0.64	0.4	-	-	-	0.25	0.53	0.2	0.35	0.11	0.3	0.54	0.30	0.32	
Total	98.14	102.65	99.44	103.22	98.12	96.76	97.39	96.69	97.62	97.58	97.36	99.48	100.24	98.13	99.61	100.20	96.52	98.42	95.77	96.00	97.32	98.20	100.52	
Ba	611	1376	266	276	525	88	848	831	22	55	290	-	-	-	-	225	409	6	522	939	252	155	14	471
Rb	192	125	155	168	181	150	113	147	180	186	159	-	-	-	-	225	234	77	93	67	78	165	209	114
Sr	159	157	32	48	45	173	207	10	10	39	-	-	-	-	23	48	2	111	166	55	42	2	179	
Y	38	30	21	24	27	9	12	22	9	15	17	-	-	-	44	61	24	69	51	26	26	57	64	
Zr	237	455	194	172	188	74	186	241	17	20	36	-	-	-	247	638	206	802	362	291	184	983	606	
Nb	42	20	13	14	16	42	28	66	25	41	19	-	-	-	77	81	27	51	36	31	21	72	50	
Th	25.9	16.3	24.6	23.5	32.1	17.1	23.5	6.6	6.9	6.8	-	-	-	-	22.4	20.3	8.2	13	12.4	7.8	31.2	20.9	19	
Pb	10.8	13.5	15.3	15.9	17.2	11.4	8.9	10.2	14.9	11.3	17.1	-	-	-	8.6	12.1	3.3	9.5	7	6.1	12.2	19.2	39.8	
Ga	18	20	16	16	16	15	15	15	17	16	17	-	-	-	30	30	30	24	22	22	17	31	25	
Hf	5.8	9.5	4.8	4.5	5	2.9	4.5	5.6	1.1	1	1.4	-	-	-	10	15.9	5.1	17.1	8	5.5	5.7	22.1	11.3	
Cs	1.6	2.64	2.83	3.08	4.13	0.92	1.05	1.63	3.11	2.33	1.76	-	-	-	0.97	1.02	0.54	0.9	0.55	0.56	0.97	0.91	0.9	
Sc	60	58	58	60	63	55	54	53	60	58	57	-	-	-	59	53	52	59	53	56	60	59	49	
Ta	3.1	1.1	1	1.1	1.8	5.5	1.4	4.4	4.5	7.9	2.4	-	-	-	6.5	4.6	1.5	2.5	2.3	1.5	2.4	5	2.7	
La	43.4	46.7	53.9	46.3	44.1	15.0	42.5	58.3	3.7	5	7.6	-	-	-	12.2	78.2	10.9	61.2	40.5	18.6	26.1	68.7	52.6	
Ce	80.5	83.0	92.1	80.5	76.3	26.1	66.8	90.3	7.3	10	15	-	-	-	34.7	167.1	26.4	123.0	82.9	39.8	53.0	154.8	100.6	
Pr	8.8	8.6	8.7	7.7	7.3	2.4	6.2	8.4	0.9	1.2	1.6	-	-	-	3.7	20.9	3.2	14.0	9.8	4.9	4.7	16.1	10.8	
Nd	30.6	29.8	26.4	24.4	23.5	7.0	18.8	26.3	2.7	3.9	5.2	-	-	-	14.2	79.7	12.9	52.4	38.5	20.2	15.4	57.5	39.3	
Sm	6.2	5.5	4.0	4.0	3.9	1.2	2.8	4.3	1	1.4	1.6	-	-	-	4.2	16.4	2.8	10.7	8.2	4.4	3.1	9.5	7.8	
Eu	0.7	1.3	0.4	0.4	0.4	0.2	0.8	1.0	0.0	0.0	0.2	-	-	-	0.2	1.6	0.2	1.6	2.9	1.1	0.2	2.0	9.5	
Gd	5.7	5.1	3.2	3.5	3.7	1.1	2.4	3.6	1.1	1.6	1.8	-	-	-	5.1	15	2.7	11.1	8.3	4.5	3.2	7.0	8.2	
Tb	1.0	0.8	0.5	0.6	0.6	0.2	0.3	0.6	0.2	0.4	0.4	-	-	-	1.1	2.2	0.5	1.9	1.3	0.7	0.6	1.4	1.4	
Dy	6.3	5.0	3.1	3.7	4.0	1.3	2.1	3.7	1.6	2.4	2.6	-	-	-	8.2	12.1	3.7	12.3	8.8	4.7	4.1	10.7	9.5	
Ho	1.3	1.0	0.6	0.7	0.9	0.3	0.4	0.7	0.3	0.4	0.5	-	-	-	1.7	2.2	0.8	2.5	1.8	1.0	0.9	2.1	2.1	
Er	3.9	3.1	2.1	2.4	2.7	1.1	1.2	2.4	1	1.4	1.7	-	-	-	5.4	6	3.0	7.9	5.6	3.0	3.0	6.8		
Tm	0.6	0.5	0.3	0.4	0.4	0.2	0.4	0.2	0.3	0.3	0.3	-	-	-	0.8	0.8	0.5	1.2	0.8	0.4	0.5	1.6		
Yb	3.8	3.1	2.3	2.5	2.9	1.7	1.3	2.6	1.4	1.8	2	-	-	-	4.8	4.9	3.6	7.4	5.4	3.1	3.5	11.7		
Lu	0.6	0.5	0.4	0.4	0.5	0.3	0.2	0.4	0.2	0.3	0.3	-	-	-	0.7	0.7	0.6	1.2	0.9	0.5	0.5	2.0		

کتابنگاری

قلمقاش، ج.، وثوقی عابدینی، م.، امامی، م.، پورمعافی، م.، بلون، م. و رشید، ح.، ۱۳۸۲- سن سنجی مجموعه نفوذی اشتویه به روش پتاسیم- آرگون. فصلنامه علوم زمین، سازمان زمین‌شناسی و اکتشافات معدنی کشور، شماره ۴۷-۴۸، ص ۲۷-۱۶.

نقی‌زاده، ر.، حق‌فرش، ا. و قلمقاش، ج.، ۱۳۸۳- نقشه زمین‌شناسی اشتویه با مقیاس ۱:۱۰۰۰۰۰، سازمان زمین‌شناسی و اکتشافات معدنی کشور.

هوشمند معنوی، س.، ۱۳۸۱- پتروژئن توده‌های گرانیتوبیدی یونسلو و بالستان (شمال شرق اشتویه)، پایان‌نامه کارشناسی ارشد، دانشگاه شهید بهشتی.

References

- Alavi, M., 1994- Tectonic of the Zagros orogenic belt of Iran: new data and interpretations. *Tectonophysics* 229, 211-238.
- Altherr, R., Holl, A., Hegner, E., Langer, C. & Kreuzer, H., 2000- High-potassium, cala-alkaline I-type plutonism in the European Variscides: northern Vosges (France) and northern Schwarzwald (Germany). *Lithos* 50, 51-73.
- Anderson, J. L., 1983- Proterozoic anorogenic granite plutonism of North America. *Geological Society of American Memory* 161, 133-154.
- Bedard, J., 1990- Enclaves from the A-type granite of the Megantic complex, White Mountain magma series: clues to granite mag-magenesis. *Journal of Geophysical Research* 95(B11), 17797-17819.
- Berberian, M. & King, G. C. P., 1981- Toward a paleogeography and tectonic evolution of Iran. *Canadian Journal of Earth Science*, 18, 210-265.
- Blundy, J. D. & Holland, T. J. B., 1990- Calcic amphibole equilibria and a new amphibole-plagioclase geothermometer. *Contributions to mineralogy and petrology* 104, 208-224.
- Boynton, W. V., 1984- Cosmochemistry of the rare earth elements: meteorite studies. In: Henderson, P., (Ed.), *Rare Earth Element Geochemistry*, Elsevier, Amsterdam, 63-114.
- Chappell, B. W. & White, A. J. R., 1974- Two contrasting granite types. *Pacific Geology* 8, 173-174.
- Chappell, B. W. & White, A. J. R., 1992- I- and S-type granites in Lachlan fold belt. *Transactions of Royal Society Edinburgh Earth Sciences* 83, 1-26.
- Chappell, B. W., Bryant, C. J., Wyborn, D. & White, A. J. R., 1998- High- and Low-Temperature I-type granites. *Resource Geology* 48, 225-235.
- Clemens, J. D., Holloway, J. R. & White, A. R. J., 1986- Origin of an A-type granite: experimental constraints. *American Mineralogist* 71, 317-324.
- Collins, W. J., Beams, S. D., White, A. J. R. & Chappell, B. W., 1982- Nature and origin of A-type granite with particular reference to south eastern Australia. *Contributions to mineralogy and petrology* 80, 189-200.
- Creaser, R. A., Price, R. C. & Wormald, R. J., 1991- A-type granite revisited: assessment of a residual-source modal. *Geology* 19, 163-166.
- Deer, W. A., Howie, R. A. & Zussman, J., 1992- An introduction to the rock forming minerals. John Wiley & Sons, Inc. New York, 2nd ed. pp 696.
- Forst, C. D. & Forst, R. B., 1997- Reduced rapakivi-type granites: the tholeiite connection. *Geology* 25, 647-650.
- Forster, H. J., Tischendorf, G. & Trumbull, R. B., 1997- An evaluation of the Rb vs. (Y+Nb) discrimination diagram to infer tectonic setting of silicic igneous rocks. *Lithos*, 40, 261-293.
- Hammarstrom, J. M. & Zen, E. A., 1986- Aluminum in hornblende: An empirical igneous geobarometer. *American Mineralogist* 71, 1297-1313.
- Harker, A., 1909- The natural history of igneous rocks. Methuen and Co., London, 344 pp.
- Harris, N. B. W., Hawkesworth, C. J. & Ries, A., 1984- Crustal evolution in north-east and east Africa from model Nd ages. *Nature* 309, 773-776.
- Johnson, M. C. & Rutherford, M. J., 1989- Experimental calibration of an aluminum-in-hornblende geobarometer with application to Long Valley caldera (California) volcanic rocks. *Geology* 17, 837-841.
- Jung, S., Hoernes, S. & Mezger, K., 2000- Geochronology and petrogenesis of Pan- African, syn-tectonic, S-type and post-tectonic A-type granite (Namibia): products of melting of crustal source, fractional crystallization and wall rock entrainment. *Lithos* 50, 259-287.
- King, P. L., White, A. J. R., Chappell, B. W. & Allen, C. M., 1997- Characterization and origin of aluminous A-type granite from the Lachlan fold belt, Southeastern Australia. *Journal of Petrology* 38, 371-391.
- King, P. L., Chappell, B. W., Allen, C. M. & White, A. J. R., 2001- Are A-type granites the high-temprature felsic granites? Evidence from fractionated granites of the Wangrah suite. *Australian Journal of earth science* 48, 501-514.
- Leake, B. E., Wooley, A. R., Birch, W. D., Burke, E. A. J., Ferraris, G., Grice, J. D., Hawthorne, F. C., Kisch, H. J., Krivovichev, V. G., Schumacher, J. C., Stephenson, N. C. N. & Whittaker, E. J. W., 1997- Nomenclature of the amphiboles: report of the subcommittee on the amphiboles of the International Mineralogical Association. *Canadian Mineralogist* 35, 219-246.
- Loiselle, M. C. & Wones, D. R., 1979- Characteristics and origin of anorogenic granites. *Geological Society of America Abstracts* 11(7), 468.

- Maniar, P. D. & Piccoli, P. M., 1989- Tectonic discrimination of granitoids. Geological Society of America Bulletin 101, 635-643.
- Miller, C. F., 1985- Are strongly peraluminous magmas derived from pelitic sedimentary sources? Journal of Geology 93, 673-689.
- Mohajjel, M. & Fergusson, C. L., 2000- Dextral transpression in Late Cretaceous continental collision, Sanandaj-Sirjan Zone, western Iran. Journal of Structural Geology 22, 1125-1139.
- Mohajjel, M., 1997- Structure and tectonic evolution of Palaeozoic-Mesozoic rocks, Sanandaj-Sirjan Zone, western Iran. Ph.D. thesis, University of Wollongong, Wollongong, Australia (unpublished).
- Morimoto, N., 1988- Nomenclature of Pyroxenes. Bull. Mineral. 111, 535-550.
- Patino Douce, A. E., 1997- Generation of metaluminous A-type granites by low-pressure melting of calc-alkaline granitoids. Geology 25, 743-746.
- Pearce, J. A. & Peate, D. W., 1995- Tectonic implications of the composition of volcanic arc magmas. Annual Review of Earth and Planetary Science 23, 251-285.
- Pearce, J. A., Harris, N. B. W. & Tindle, A. G., 1984- Trace element discrimination diagrams for the tectonic interpretation of granitic rocks. Journal of Petrology 25, 956-983.
- Pearce, J., 1996 - Source and setting of granitic rocks, Episode 19, 120-125.
- Pitcher, W. S., 1993- The nature and origin of granite. Chapman & Hall, London 321pp.
- Ramo, O. T. & Haapala, I., 1991- The rapakivi granites of eastern Fennoscandia: a review with insights into their origin in the light of new Sm-Nd isotopic data. In: Gower, C.F., River, T. and Ryan, B. (Eds), Mid-Proterozoic Laurentia-Baltica. Geological Association of Canada Special Paper 38, 401-415.
- Rapp, R. P. & Watson, E. B., 1995- Dehydration melting of metabasalt at 8-32 kbar: implications for continental growth and crust-mantle recycling. Journal of Petrology 36, 891-931.
- Rapp, R. P., 1995- Amphibole-out phase boundary in partially melted metabasalt, its control over liquid fraction and composition, and source permeability. Journal of Geophysical Research 100, 15601-15610.
- Sengor, A. M. C., 1990- A new model for the late Palaeozoic-Mesozoic tectonic evolution of Iran and implication for Oman, Geological Society, London, Special Publication 49, 797-831.
- Stoklin, J., 1968- Structural history and tectonics of Iran: A review. The American Association of Petroleum Geologist Bulletin 52, 1229-1258.
- Streckeisen, A., 1976- To each plutonic rocks its proper name. Earth Science Review 12, 1-33.
- Sun, S. S. & McDonough, W. F., 1989- Chemical and isotopic systematics of oceanic basalts: implications for mantle composition and processes. In: Saunders, A.D., Norry, M.J. (Eds.), Magmatism in Ocean Basins. Geological Society of London, pp. 313-345 (Special Publication 42).
- Vielzeuf, D. & Montel, M. J., 1994- Partial melting of metagreywackes. Part 1, Fluid-absent experiments and phase relationships, Contributions to Mineralogy and Petrology 117, 375-393.
- Vyhnal, C. R., McSween, H. Y. Jr. & Speer, A., 1991- Hornblende chemistry in southern Appalachian granitoids: implication for aluminium hornblende thermobarometry and magmatic epidote stability. American Mineralogist 76, 176-188.
- Watson, E. B. & Harrison, T. M., 1983- Zircon saturation revisited: temperature and composition effects in a variety of crustal magma types. Earth and Planetary Science Letters 64, 295-304.
- Whalen, J. B., Currie, K. L. & Chappell, B. W., 1987- A-type granites: geochemical characteristics, discrimination and petrogenesis. Contributions to Mineralogy and Petrology 95, 407-419.
- Wilson, M., 1989- Igneous petrogenesis, Unwin Hyman Ltd., 466 pp.

Geology, Geochemistry and Petrogenesis of Oshnavieh Plutonic Complex (North west of Iran)

J. Ghalamghash ^{1*}, S. Houshmand Manavi ² & M. Vousooughi Abedini ³

¹ Assistant Professor, Research Institute for Earth Science, Geological Survey of Iran, Tehran, Iran.

² M.Sc., Geological Survey of Iran, Tehran, Iran.

³ Associate Professor, Department of Geology, Faculty of Science, Islamic Azad University- Science and Research Branch, Tehran, Iran.

Received: 2010 August 03 Accepted: 2011 May 28

Abstract

Oshnavieh Plutonic Complex (OPC), hosted within the northernmost part of the Sanandaj- Sirjan zone, allows distinguishing three suites including diorite, granite and alkalisyenite-alkaligranite (AS-AG). Dioritic rocks formed from partial melting of enriched lithospheric mantle sources on base of mineralogical and geochemistry. The granite suite is S type that formed from partial melting of metapelitic-greywacke source. The peraluminous A-type granite of AS-AG suite are generated by partial melting of quartzo-feldspathic source at high temperatures. According to the negative Nb, Ta and Ti anomaly in spider diagrams, and tectonic discrimination diagram of Rb-(Y+Nb), the diorite suite formed in active continental margin (VAG) environment. According to the diorite's formed environment and simultaneously formed granite in 100 M.a., OPC seems to have formed by northeastward subduction of Neo-tethyan oceanic crust under the Iranian continental crust. Following intrusion and setting of mafic magma into the crust, partial melting of pelitic-greywacke, resulted from heating by intrusion of the mafic magma, produced the granitic magma. After 20 Ma the AS-AG suite formed from melting of quartzo-feldspathic rocks of lower crust, probably by heating of mafic magma and/or in relaxation period of subduction and emplaced in the continental volcanic arc.

Keywords: Plutonic rocks, Diorite, Granite, Syenite, Sanandaj-Sirjan zone, Iran.

For Persian Version see pages 219 to 232

*Corresponding author: J. Ghalamghash; E-mail: ghalamghash@yahoo.com